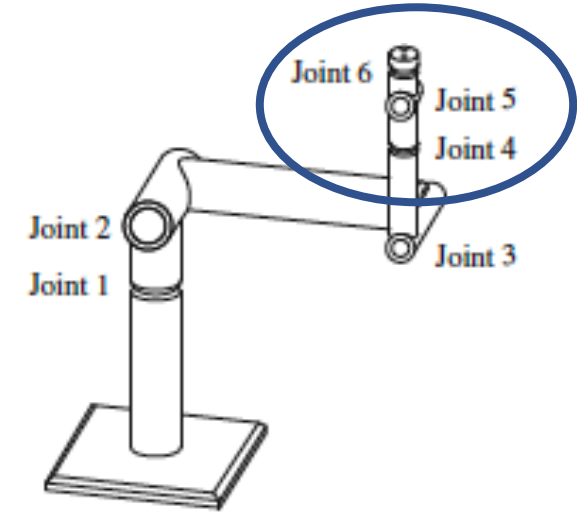
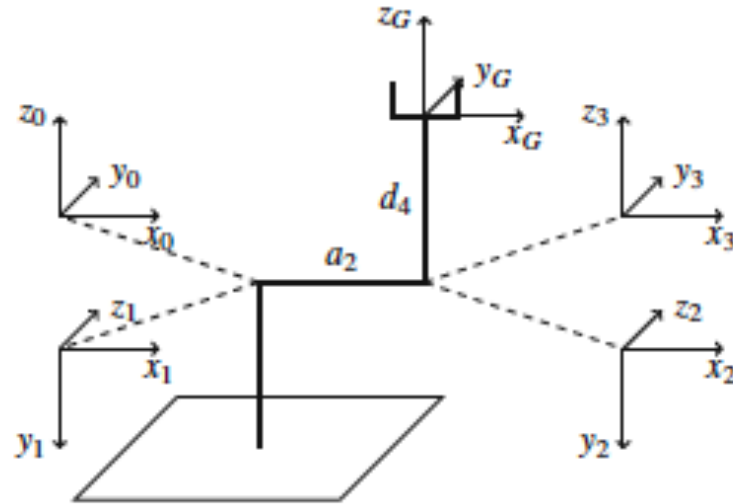
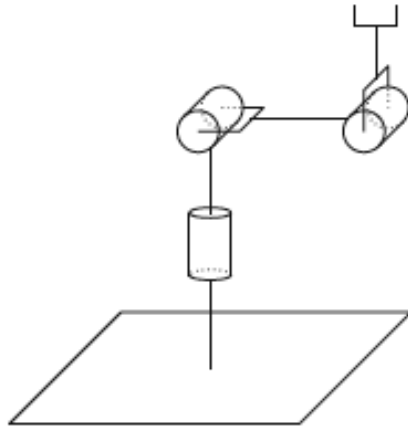


# Cinematica del braccio robotico

# Robot a tre giunti



Problema della cinematica inversa: fissata la terna di riferimento  $T$  del gripper trovare gli angoli ai giunti  $\theta_1, \theta_2, \theta_3$  che realizzano la terna

$$M_G^0 = M_1^0 \cdot M_2^1 \cdot M_3^2 \cdot M_G^3 = \begin{pmatrix} c_1 c_{23} & -s_1 & c_1 s_{23} & a_2 c_1 c_2 + d_4 c_1 s_{23} \\ s_1 c_{23} & c_1 & s_1 s_{23} & a_2 s_1 c_2 + d_4 s_1 s_{23} \\ -s_{23} & 0 & c_{23} & -a_2 s_2 + d_4 c_{23} \\ 0 & 0 & 0 & 1 \end{pmatrix} = \begin{pmatrix} n_x & o_x & a_x & p_x \\ n_y & o_y & a_y & p_y \\ n_z & o_z & a_z & p_z \\ 0 & 0 & 0 & 1 \end{pmatrix} = T$$

$$\mathbf{M}_G^0 = \mathbf{M}_1^0 \cdot \mathbf{M}_2^1 \cdot \mathbf{M}_3^2 \cdot \mathbf{M}_G^3 = \begin{pmatrix} c_1 c_{23} & \boxed{-s_1} & c_1 s_{23} & a_2 c_1 c_2 + d_4 c_1 s_{23} \\ s_1 c_{23} & \boxed{c_1} & s_1 s_{23} & a_2 s_1 c_2 + d_4 s_1 s_{23} \\ -s_{23} & 0 & c_{23} & -a_2 s_2 + d_4 c_{23} \\ 0 & 0 & 0 & 1 \end{pmatrix} = \begin{pmatrix} n_x & \boxed{o_x} & a_x & p_x \\ n_y & \boxed{o_y} & a_y & p_y \\ n_z & o_z & a_z & p_z \\ 0 & 0 & 0 & 1 \end{pmatrix} = \mathbf{T}$$

$\cos \theta_1 = o_y$

$-\sin \theta_1 = o_x$

Da queste due equazioni si ricava  $\theta_1 = \text{atan2}(-o_x, o_y)$

Conoscendo  $\theta_1$  possiamo portare a destra la matrice  $\mathbf{M}_1^0$  e anche la matrice  $\mathbf{M}_G^3$  perché sono entrambi note:

$$\mathbf{M}_2^1 \cdot \mathbf{M}_3^2 = \mathbf{M}_1^{0^{-1}} \cdot \mathbf{T} \cdot \mathbf{M}_G^{3^{-1}}$$

$$\mathbf{M}_2^1 \cdot \mathbf{M}_3^2 = \mathbf{M}_1^{0^{-1}} \cdot \mathbf{T} \cdot \mathbf{M}_G^{3^{-1}}$$

Svolgiamo la parte nota a sinistra:

$$\mathbf{T} \cdot \mathbf{M}_G^{3^{-1}} = \mathbf{T}' = \begin{pmatrix} n_x & o_x & a_x & -a_x d_4 + p_x \\ n_y & o_y & a_y & -a_y d_4 + p_y \\ n_z & o_z & a_z & -a_z d_4 + p_z \\ 0 & 0 & 0 & 1 \end{pmatrix} = \begin{pmatrix} n_x & o_x & a_x & p'_x \\ n_y & o_y & a_y & p'_y \\ n_z & o_z & a_z & p'_z \\ 0 & 0 & 0 & 1 \end{pmatrix} \quad \begin{aligned} p'_x &= -a_x d_4 + p_x \\ p'_y &= -a_y d_4 + p_y \\ p'_z &= -a_z d_4 + p_z \end{aligned}$$

$$\mathbf{M}_1^{0^{-1}} \cdot \mathbf{T} \cdot \mathbf{M}_G^{3^{-1}} = \mathbf{M}_1^{0^{-1}} \cdot \mathbf{T}' = \begin{pmatrix} n_x c_1 + n_y s_1 & o_x c_1 + o_y s_1 & a_x c_1 + a_y s_1 & p'_x c_1 + p'_y s_1 \\ -n_z & -o_z & -a_z & -p'_z \\ -n_x s_1 + n_y c_1 & -o_x s_1 + o_y c_1 & -a_x s_1 + a_y c_1 & -p'_x s_1 + p'_y c_1 \\ 0 & 0 & 0 & 1 \end{pmatrix}$$

Svolgiamo la parte a destra con le incognite  $\theta_2, \theta_3$  :

$$\mathbf{M}_2^1 \cdot \mathbf{M}_3^2 = \begin{pmatrix} c_{23} & 0 & s_{23} & a_2 c_2 \\ s_{23} & 0 & -c_{23} & a_2 s_2 \\ 0 & 1 & 0 & 0 \\ 0 & 0 & 0 & 1 \end{pmatrix}$$

Mettiamo insieme le due parti e procediamo come prima:

$$\begin{pmatrix} c_{23} & 0 & s_{23} & a_2 c_2 \\ s_{23} & 0 & -c_{23} & a_2 s_2 \\ 0 & 1 & 0 & 0 \\ 0 & 0 & 0 & 1 \end{pmatrix} = \begin{pmatrix} n_x c_1 + n_y s_1 & o_x c_1 + o_y s_1 & a_x c_1 + a_y s_1 & p'_x c_1 + p'_y s_1 \\ -n_z & -o_z & -a_z & -p'_z \\ -n_x s_1 + n_y c_1 & -o_x s_1 + o_y c_1 & -a_x s_1 + a_y c_1 & -p'_x s_1 + p'_y c_1 \\ 0 & 0 & 0 & 1 \end{pmatrix}$$

$a_2 s_2 = -p'_z$ 
 $a_2 c_2 = p'_x c_1 + p'_y s_1$

Da cui:

$$\theta_2 = \text{atan2}\left(\frac{-p'_z}{a_2}, \frac{p'_x c_1 + p'_y s_1}{a_2}\right)$$

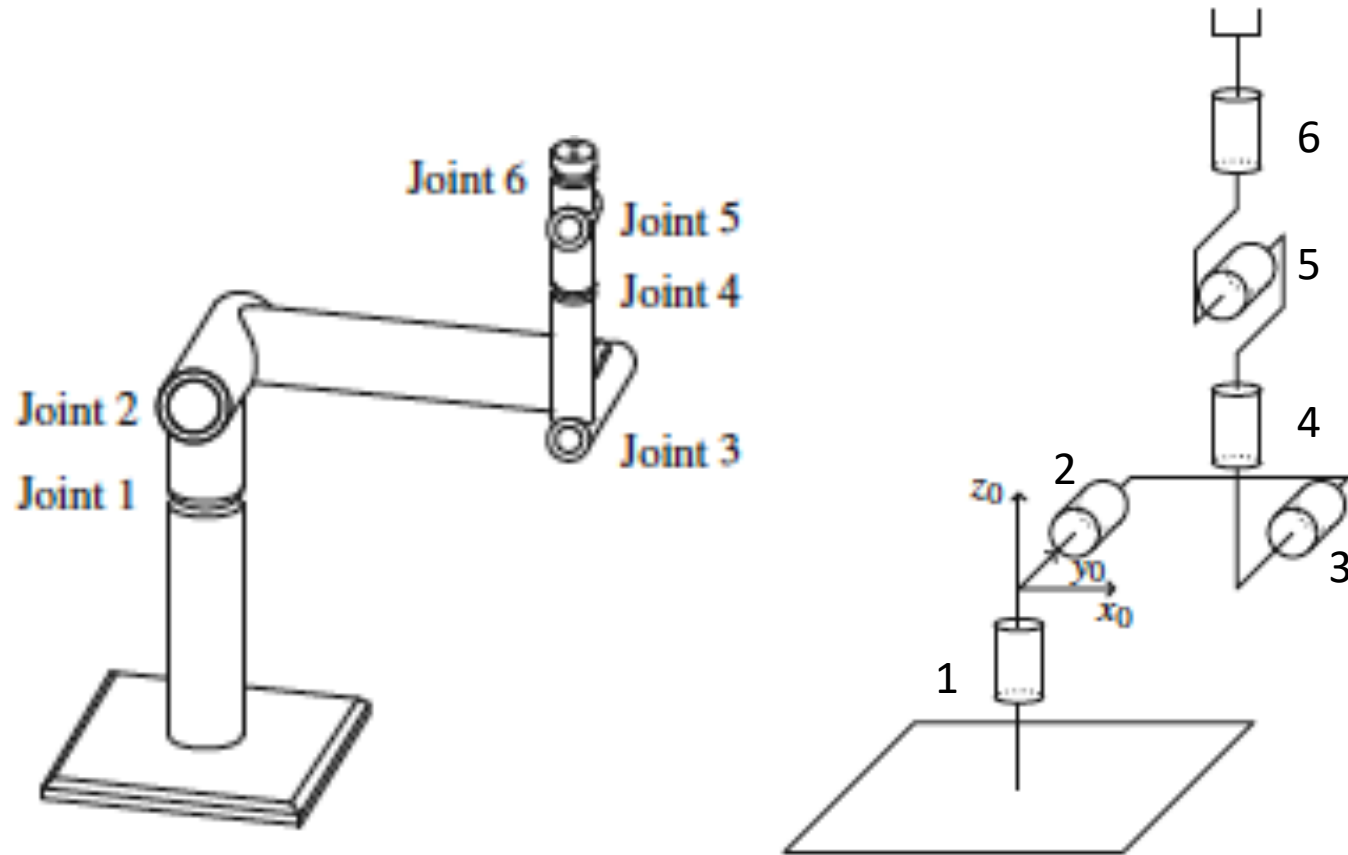
$$\begin{pmatrix} c_{23} & 0 & s_{23} & a_2 c_2 \\ s_{23} & 0 & -c_{23} & a_2 s_2 \\ 0 & 1 & 0 & 0 \\ 0 & 0 & 0 & 1 \end{pmatrix} = \begin{pmatrix} n_x c_1 + n_y s_1 & o_x c_1 + o_y s_1 & a_x c_1 + a_y s_1 & p'_x c_1 + p'_y s_1 \\ -n_z & -o_z & -a_z & -p'_z \\ -n_x s_1 + n_y c_1 & -o_x s_1 + o_y c_1 & -a_x s_1 + a_y c_1 & -p'_x s_1 + p'_y c_1 \\ 0 & 0 & 0 & 1 \end{pmatrix}$$

$\sin(\theta_2 + \theta_3) = -n_z$ 
 $\cos(\theta_2 + \theta_3) = a_z$

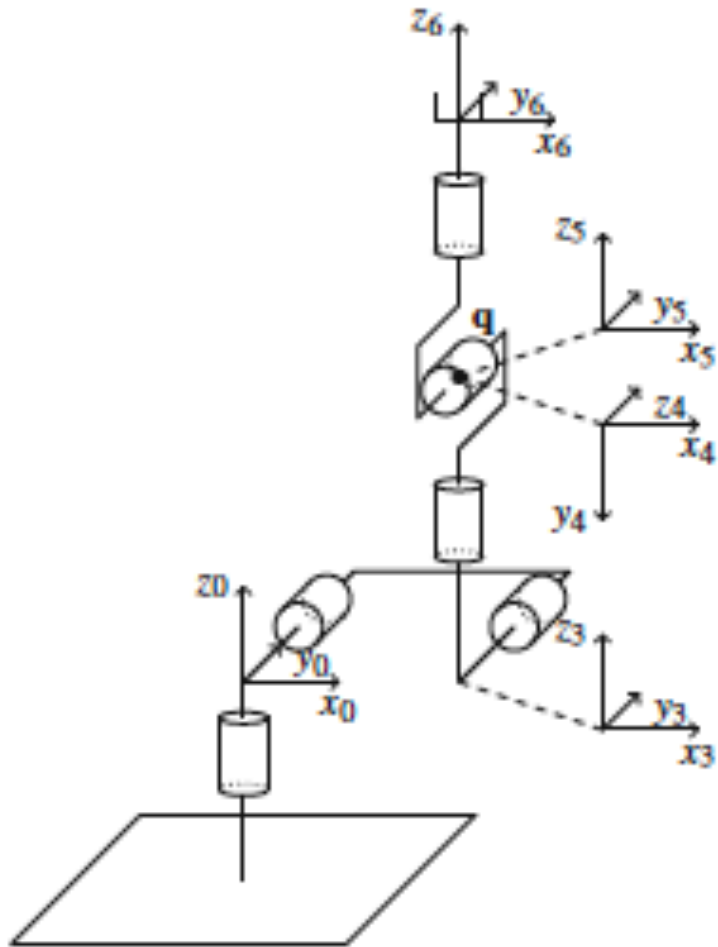
Da cui:

$$\theta_3 = \text{atan2}(-n_z, a_z) - \theta_2$$

# Robot a sei giunti



$i$	$\alpha_i$	$a_i$	$d_i$	$\theta_i$
1	-90	0	0	$\theta_1$
2	0	$a_2$	0	$\theta_2$
3	90	0	0	$\theta_3$
4	-90	0	$d_4$	$\theta_4$
5	90	0	0	$\theta_5$
6	0	0	$d_6$	$\theta_6$



Il riferimento di  $S_6$  deve corrispondere al riferimento del gripper (noto)

$$\mathbf{M}_6^0 = \mathbf{M}_1^0 \cdot \mathbf{M}_2^1 \cdot \mathbf{M}_3^2 \cdot \mathbf{M}_4^3 \cdot \mathbf{M}_5^4 \cdot \mathbf{M}_6^5 = \begin{pmatrix} n_x & o_x & a_x & p_x \\ n_y & o_y & a_y & p_y \\ n_z & o_z & a_z & p_z \\ 0 & 0 & 0 & 1 \end{pmatrix}$$

Gli assi di rotazione dei giunti 4, 5, 6 si intersecano nel punto  $\mathbf{q}$  di origine di 4 e 5.

Il moto di  $\mathbf{q}$  quindi non dipende dal moto di 4,5,6 ma soltanto dal moto di 1,2,3.

$$\mathbf{q} = \mathbf{p} - d_6 \mathbf{a}$$

dove  $\mathbf{p}$  è l'origine e  $\mathbf{a}$  è il versore dell'asse z del sistema di riferimento del gripper (noto).

Ritorniamo (quasi) al caso precedente: conosciamo l'origine  $\mathbf{q}$  della terna di riferimento del target  $\mathbf{T}$  relativa ai primi tre giunti del manipolatore.

E' possibile quindi ricavare  $\theta_1, \theta_2, \theta_3$  e da questi ricavare le restanti incognite  $\theta_4, \theta_5, \theta_6$

$$\mathbf{M}_4^3 \cdot \mathbf{M}_5^4 \cdot \mathbf{M}_6^5 = \mathbf{M}_3^{2^{-1}} \cdot \mathbf{M}_2^{1^{-1}} \cdot \mathbf{M}_1^{0^{-1}} \begin{pmatrix} n_x & o_x & a_x & p_x \\ n_y & o_y & a_y & p_y \\ n_z & o_z & a_z & p_z \\ 0 & 0 & 0 & 1 \end{pmatrix}$$

$$\mathbf{q} = \mathbf{p} - d_6 \mathbf{a}$$

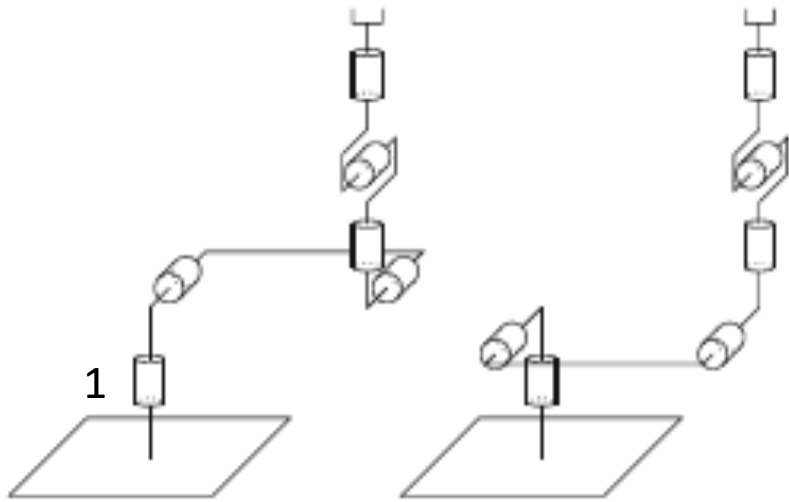
Dall'equazione della cinematica diretta del manipolatore a tre giunti:

$$\mathbf{q} = \begin{pmatrix} a_2 c_1 c_2 + d_4 c_1 s_{23} \\ a_2 s_1 c_2 + d_4 s_1 s_{23} \\ -a_2 s_2 + d_4 c_{23} \end{pmatrix}$$

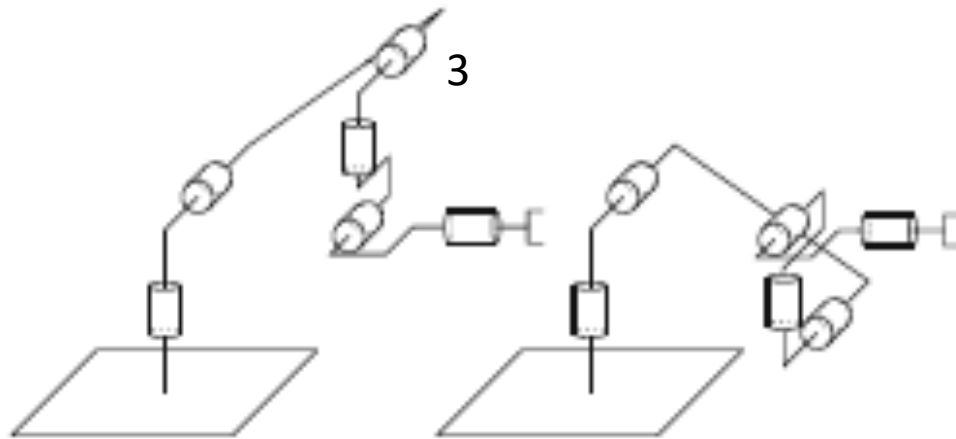
$$\mathbf{p} - d_6 \mathbf{a} = \begin{pmatrix} a_2 c_1 c_2 + d_4 c_1 s_{23} \\ a_2 s_1 c_2 + d_4 s_1 s_{23} \\ -a_2 s_2 + d_4 c_{23} \end{pmatrix}$$



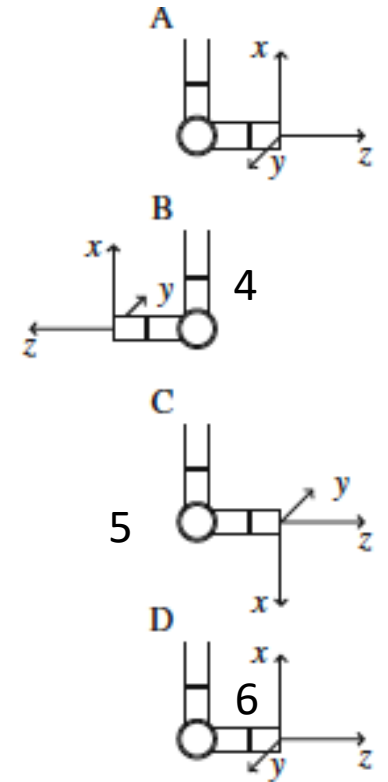
# Soluzioni multiple per la stessa posizione del gripper



Spalla destra – Spalla sinistra  
Shoulder (right, left) = (1, -1)



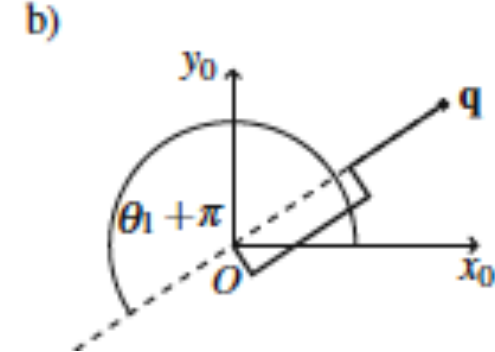
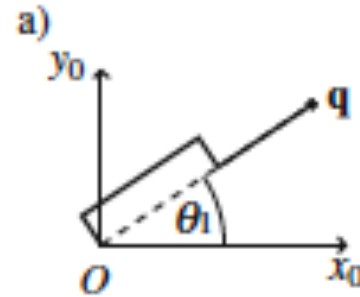
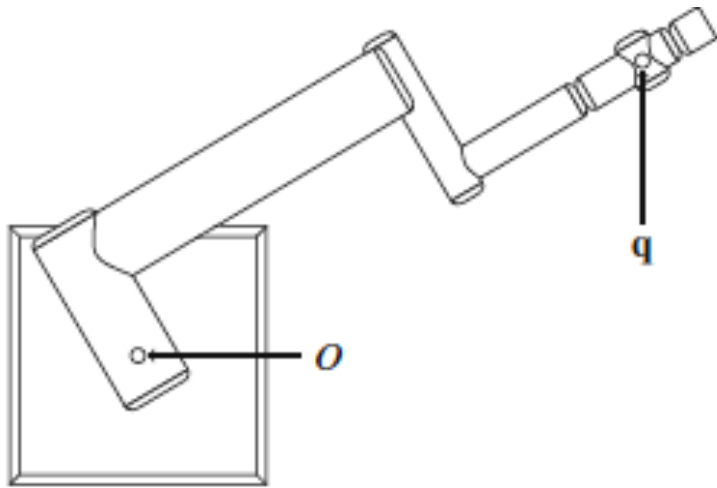
Gomito su – gomito giù  
Elbow (up, down) = (1, -1)



Mano alzata – abbassata  
Hand (flip, noflip) = (1, -1)

Da A a B: rotazione di 4  
Da B a C: rotazione di 5  
Da C a D: rotazione di 6

# Soluzioni per $\theta_1$



Spalla sinistra:

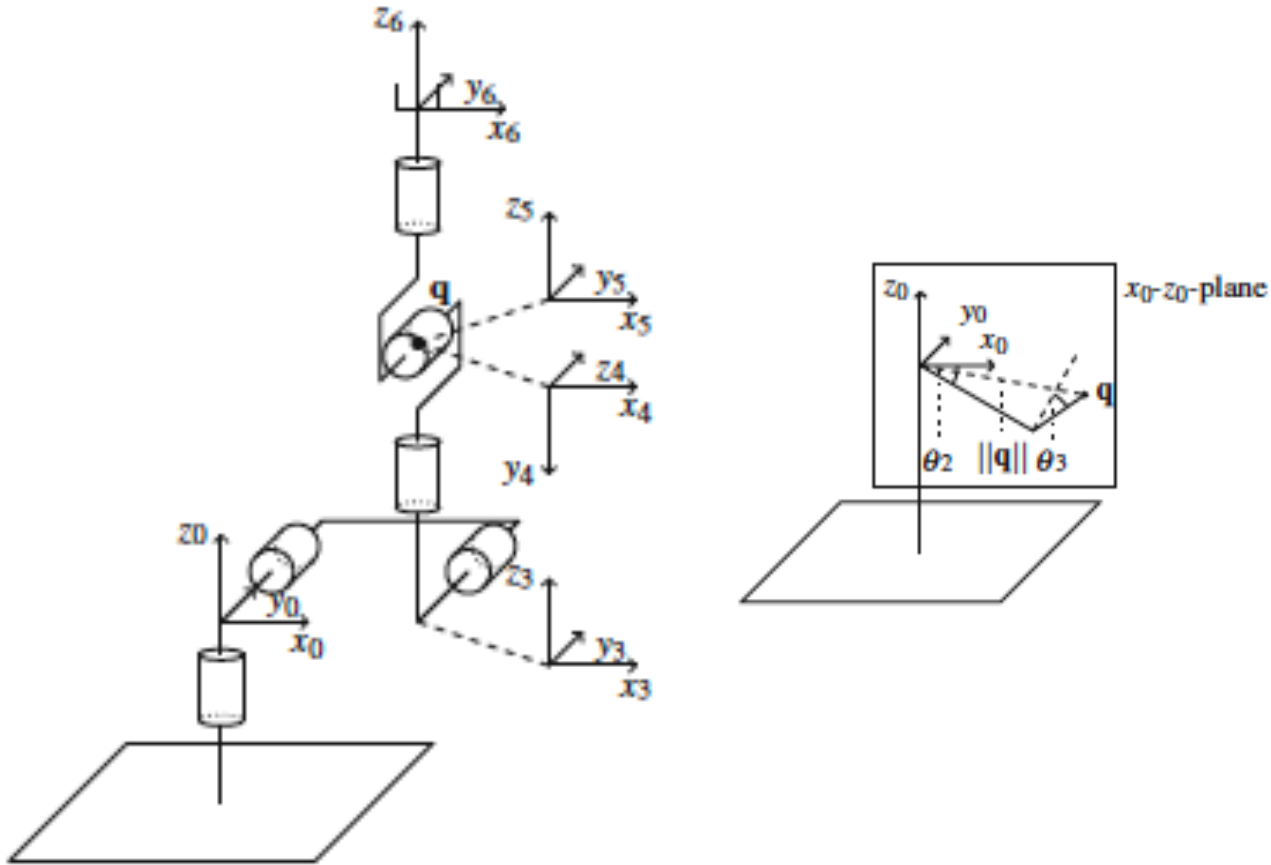
$$\theta_1 = \text{atan2}(q_y, q_x)$$

Spalla destra:

$$\begin{aligned}\theta_1 &= \text{atan2}(q_y, q_x) + \pi \\ &= \text{atan2}(-q_y, -q_x)\end{aligned}$$

In generale  $\theta_1 = \text{atan2}(\text{shoulder} \cdot q_y, \text{shoulder} \cdot q_x)$

# Soluzioni per $\theta_3$



La distanza tra  $\mathbf{q}$  e  $O$  dipende soltanto da  $\theta_3$  e non da  $\theta_1$  e  $\theta_2$

$$\begin{aligned}\|\mathbf{q}\|^2 &= q_x^2 + q_y^2 + q_z^2 = (a_2 c_1 c_2 + d_4 c_1 s_{23})^2 + \\ &+ (a_2 s_1 c_2 + d_4 s_1 s_{23})^2 + (-a_2 s_2 + d_4 c_{23})^2 = \\ &= a_2^2 + d_4^2 + 2a_2 d_4 s_3\end{aligned}$$

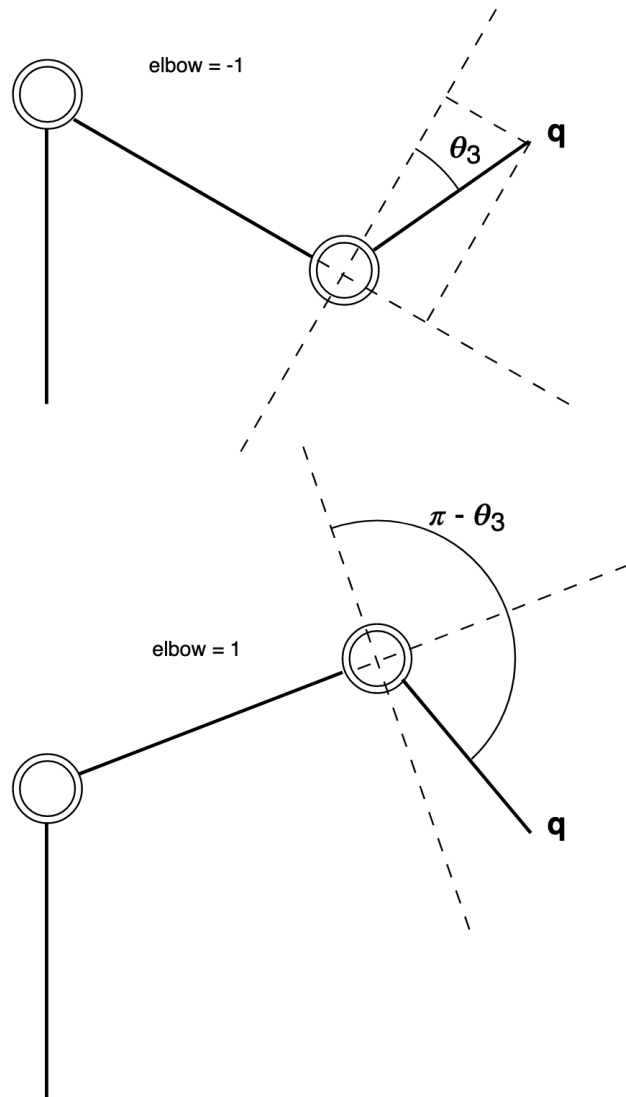
Dipende soltanto da  $\theta_3$

$$s_3 = \frac{\|\mathbf{q}\|^2 - a_2^2 - d_4^2}{2a_2 d_4}$$

$$c_3 = \pm \sqrt{1 - s_3^2} \quad \text{Due soluzioni dipendenti dal giunto e dal gomito}$$

$$\theta_3 = \text{atan2} \left( s_3, -\text{shoulder} \cdot \text{elbow} \cdot \sqrt{1 - s_3^2} \right)$$

# Soluzioni per $\theta_3$



La distanza tra  $\mathbf{q}$  e O dipende soltanto da  $\theta_3$  e non da  $\theta_1$  e  $\theta_2$

$$\begin{aligned}\|\mathbf{q}\|^2 &= q_x^2 + q_y^2 + q_z^2 = (a_2 c_1 c_2 + d_4 c_1 s_{23})^2 + \\ &+ (a_2 s_1 c_2 + d_4 s_1 s_{23})^2 + (-a_2 s_2 + d_4 c_{23})^2 = \\ &= a_2^2 + d_4^2 + 2a_2 d_4 s_3\end{aligned}$$

Dipende soltanto da  $\theta_3$

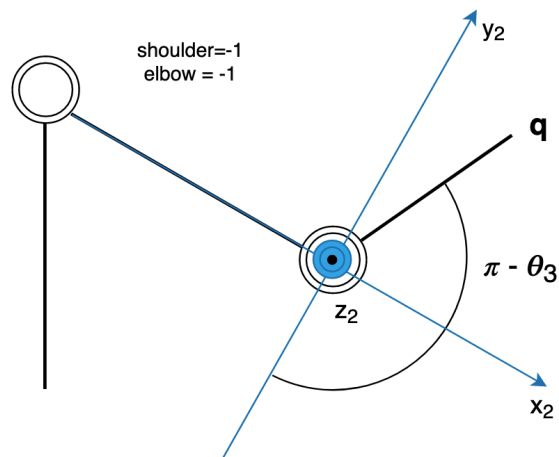
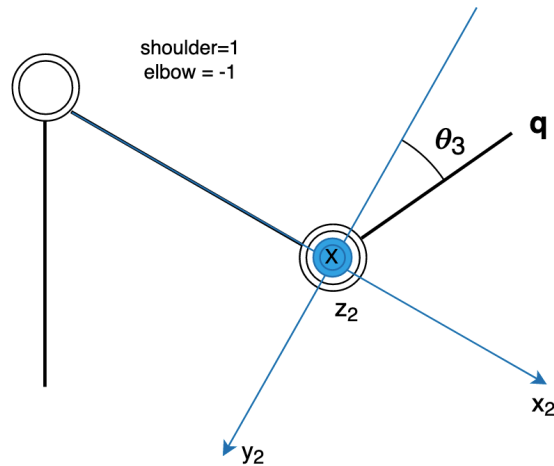
$$s_3 = \frac{\|\mathbf{q}\|^2 - a_2^2 - d_4^2}{2a_2 d_4}$$

$$c_3 = \pm \sqrt{1 - s_3^2}$$

Due soluzioni dipendenti dal giunto e dal gomito

$$\theta_3 = \text{atan2} \left( s_3, -\text{shoulder} \cdot \text{elbow} \cdot \sqrt{1 - s_3^2} \right)$$

# Soluzioni per $\theta_3$



La distanza tra  $\mathbf{q}$  e O dipende soltanto da  $\theta_3$  e non da  $\theta_1$  e  $\theta_2$

$$\begin{aligned}\|\mathbf{q}\|^2 &= q_x^2 + q_y^2 + q_z^2 = (a_2 c_1 c_2 + d_4 c_1 s_{23})^2 + \\ &+ (a_2 s_1 c_2 + d_4 s_1 s_{23})^2 + (-a_2 s_2 + d_4 c_{23})^2 = \\ &= a_2^2 + d_4^2 + 2a_2 d_4 s_3\end{aligned}$$

Dipende soltanto da  $\theta_3$

$$s_3 = \frac{\|\mathbf{q}\|^2 - a_2^2 - d_4^2}{2a_2 d_4}$$

$$c_3 = \pm \sqrt{1 - s_3^2}$$

Due soluzioni dipendenti dal giunto e dal gomito

$$\theta_3 = \text{atan2} \left( s_3, -\text{shoulder} \cdot \text{elbow} \cdot \sqrt{1 - s_3^2} \right)$$

# Soluzioni per $\theta_2$

$$\mathbf{q} = \begin{pmatrix} q_x \\ q_y \\ q_z \end{pmatrix} = \begin{pmatrix} a_2 c_1 c_2 + d_4 c_1 s_{23} \\ a_2 s_1 c_2 + d_4 s_1 s_{23} \\ -a_2 s_2 + d_4 c_{23} \end{pmatrix}$$

Se  $c_1 \neq 0$  poniamo  $x = q_x / c_1$ ;  $z = q_z$  e si ha:

$$\begin{aligned} x &= a_2 c_2 + d_4 s_{23} \\ z &= -a_2 s_2 + d_4 c_{23} \end{aligned}$$

Se  $c_1 = 0$  allora poniamo  $y = q_y / s_1$  e si ha:

$$\begin{aligned} y &= a_2 c_2 + d_4 s_{23} \\ z &= -a_2 s_2 + d_4 c_{23} \end{aligned}$$

Inoltre poniamo:

$$\begin{aligned} u &= a_2 + d_4 s_3 \\ v &= d_4 c_3 \end{aligned}$$

Le equazioni diventano:

$$\begin{aligned} x &= u c_2 + v s_2 \\ z &= -u s_2 + v c_2 \end{aligned}$$

Definiamo  $r = \sqrt{u^2 + v^2}$  Nei casi pratici  $r \neq 0$  per come sono definiti  $u$  e  $v$

Definiamo  $\gamma = \text{atan2}(u/r, v/r) = \text{atan2}(u, v)$

Allora abbiamo  $\begin{matrix} u/r = \sin(\gamma) \\ v/r = \cos(\gamma) \end{matrix}$

Possiamo scrivere:

$$\begin{aligned} x &= r \sin(\gamma) c_2 + r \cos(\gamma) s_2 = r \sin(\gamma + \theta_2) \\ z &= -r \sin(\gamma) s_2 + r \cos(\gamma) c_2 = r \cos(\gamma + \theta_2) \end{aligned}$$

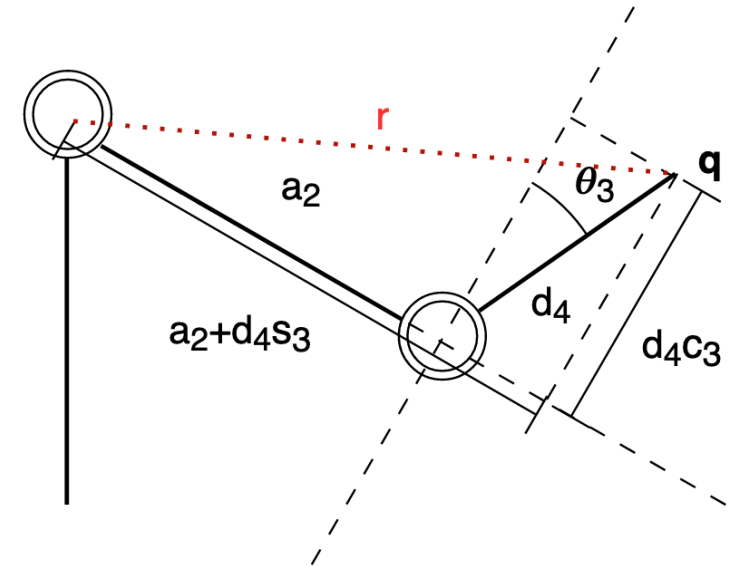
Da cui:

$$\gamma + \theta_2 = \text{atan2}(x/r, z/r)$$

Infine:

$$\theta_2 = \text{atan2}(x, z) - \text{atan2}(u, v)$$

$r = 0 \rightarrow a_2 = d_4, \sin \theta_3 = 0$   
*cioè il gomito è ripiegato su sé stesso e  $q$  si trova nell'origine che non è meccanicamente possibile perché di norma  $a_2 \neq d_4$*



Analogamente nel caso di  $c_1 = 0$  si ha:  $\theta_2 = \text{atan2}(y, z) - \text{atan2}(u, v)$

La soluzione per  $\theta_2$  è univoca ma dipende dalle scelte fatte per  $\theta_1$  e  $\theta_3$

Se  $\cos(\theta_1) \neq 0$

$$\theta_2 = \text{atan2} \left( -\text{shoulder} \cdot \text{elbow} \cdot \frac{q_x}{\cos(\theta_1)}, -\text{shoulder} \cdot \text{elbow} \cdot q_z \right) \\ - \text{atan2}(-\text{shoulder} \cdot \text{elbow} \cdot u, -\text{shoulder} \cdot \text{elbow} \cdot v)$$

Se  $\cos(\theta_1) = 0$

$$\theta_2 = \text{atan2} \left( -\text{shoulder} \cdot \text{elbow} \cdot \frac{q_y}{\sin(\theta_1)}, -\text{shoulder} \cdot \text{elbow} \cdot q_z \right) \\ - \text{atan2}(-\text{shoulder} \cdot \text{elbow} \cdot u, -\text{shoulder} \cdot \text{elbow} \cdot v)$$

*La dipendenza è la medesima di  $\theta_3$  perché i sistemi di riferimento dei giunti  $J_2$  e  $J_3$  sono perfettamente allineati a meno di una traslazione*



# Soluzione per $\theta_4, \theta_5, \theta_6$

$$\mathbf{M}_4^3 \cdot \mathbf{M}_5^4 \cdot \mathbf{M}_6^5 = \mathbf{M}_3^{2^{-1}} \cdot \mathbf{M}_2^{1^{-1}} \cdot \mathbf{M}_1^{0^{-1}} \begin{pmatrix} n_x & o_x & a_x & p_x \\ n_y & o_y & a_y & p_y \\ n_z & o_z & a_z & p_z \\ 0 & 0 & 0 & 1 \end{pmatrix}$$

$$\mathbf{M}_6^3 = \mathbf{M}_3^{0^{-1}} \cdot \mathbf{T}$$

$$\mathbf{M}_6^3 = \begin{pmatrix} c_4 c_5 c_6 - s_4 s_6 & -c_4 c_5 s_6 - s_4 c_6 & c_4 s_5 & d_6 c_4 s_5 \\ s_4 c_5 c_6 + c_4 s_6 & -s_4 c_5 s_6 + c_4 c_6 & s_4 s_5 & d_6 s_4 s_5 \\ -s_5 c_6 & s_5 s_6 & c_5 & d_4 + d_6 c_5 \\ 0 & 0 & 0 & 1 \end{pmatrix}$$

$$c_5 = a_x s_{23} c_1 + a_y s_{23} s_1 + a_z c_{23}$$

$$\mathbf{M}_3^{0^{-1}} \cdot \mathbf{T} = \begin{pmatrix} n_x c_{23} c_1 + n_y c_{23} s_1 - n_z s_{23} & o_x c_{23} c_1 + o_y c_{23} s_1 - o_z s_{23} & a_x c_{23} c_1 + a_y c_{23} s_1 - a_z s_{23} & p_x c_{23} c_1 + p_y c_{23} s_1 - p_z s_{23} - a_2 c_3 \\ -n_x s_1 + n_y c_1 & -o_x s_1 + o_y c_1 & -a_x s_1 + a_y c_1 & -p_x s_1 + p_y c_1 \\ n_x s_{23} c_1 + n_y s_{23} s_1 + n_z c_{23} & o_x s_{23} c_1 + o_y s_{23} s_1 - o_z c_{23} & a_x s_{23} c_1 + a_y s_{23} s_1 + a_z c_{23} & p_x s_{23} c_1 + p_y s_{23} s_1 - p_z c_{23} - a_2 s_3 \\ 0 & 0 & 0 & 1 \end{pmatrix}$$

$$c_5 = a_x s_{23} c_1 + a_y s_{23} s_1 + a_z c_{23}$$

$$s_5 = \pm \sqrt{1 - c_5^2}$$

Poniamo:

$$v_5 = a_x s_{23} c_1 + a_y s_{23} s_1 + a_z c_{23}$$

$$u_5 = \pm \sqrt{1 - v_5^2}$$

$$\theta_5 = \text{atan2}(\text{hand} \cdot u_5, v_5)$$

*Se si ha il flip della mano,  $\theta_5$  varia di  $\pi$  e di conseguenza  $\sin \theta_5$  si oppone in segno per cui  $\sin \theta_5 \rightarrow \text{hand} \cdot \sin \theta_5$*

$$\mathbf{M}_6^3 = \begin{pmatrix} c_4 c_5 c_6 - s_4 s_6 & -c_4 c_5 s_6 - s_4 c_6 & c_4 s_5 & d_6 c_4 s_5 \\ s_4 c_5 c_6 + c_4 s_6 & -s_4 c_5 s_6 + c_4 c_6 & s_4 s_5 & d_6 s_4 s_5 \\ -s_5 c_6 & s_5 s_6 & c_5 & d_4 + d_6 c_5 \\ 0 & 0 & 0 & 1 \end{pmatrix}$$

$$\begin{aligned} c_4 s_5 &= a_x c_{23} c_1 + a_y c_{23} s_1 - a_z s_{23} \\ s_4 s_5 &= -a_x s_1 + a_y c_1 \end{aligned}$$

$$\mathbf{M}_3^{0^{-1}} \cdot \mathbf{T} = \begin{pmatrix} n_x c_{23} c_1 + n_y c_{23} s_1 - n_z s_{23} & o_x c_{23} c_1 + o_y c_{23} s_1 - o_z s_{23} \\ -n_x s_1 + n_y c_1 & -o_x s_1 + o_y c_1 \\ n_x s_{23} c_1 + n_y s_{23} s_1 + n_z c_{23} & o_x s_{23} c_1 + o_y s_{23} s_1 - o_z c_{23} \\ 0 & 0 \end{pmatrix}$$

$$\begin{pmatrix} a_x c_{23} c_1 + a_y c_{23} s_1 - a_z s_{23} & p_x c_{23} c_1 + p_y c_{23} s_1 - p_z s_{23} - a_2 c_3 \\ -a_x s_1 + a_y c_1 & -p_x s_1 + p_y c_1 \\ a_x s_{23} c_1 + a_y s_{23} s_1 + a_z c_{23} & p_x s_{23} c_1 + p_y s_{23} s_1 - p_z c_{23} - a_2 s_3 \\ 0 & 1 \end{pmatrix}$$

Dividiamo entrambi i membri per  $s_5$  e poniamo:

$$\begin{aligned} u_4 &= -a_x s_1 + a_y c_1 \\ v_4 &= a_x c_{23} c_1 + a_y c_{23} s_1 - a_z s_{23} \end{aligned}$$

Supponiamo  $s_5 > 0$  oppure  $s_5 < 0$

$$\theta_4 = \text{atan2}(\text{hand} \cdot u_4, \text{hand} \cdot v_4)$$

$$\begin{aligned}
 \mathbf{M}_6^3 &= \begin{pmatrix} c_4 c_5 c_6 - s_4 s_6 & -c_4 c_5 s_6 - s_4 c_6 & c_4 s_5 & d_6 c_4 s_5 \\ s_4 c_5 c_6 + c_4 s_6 & -s_4 c_5 s_6 + c_4 c_6 & s_4 s_5 & d_6 s_4 s_5 \\ -s_5 c_6 & s_5 s_6 & c_5 & d_4 + d_6 c_5 \\ 0 & 0 & 0 & 1 \end{pmatrix} & \begin{aligned} s_5 s_6 &= o_x s_{23} c_1 + o_y s_{23} s_1 - o_z c_{23} \\ -s_5 c_6 &= n_x s_{23} c_1 + n_y s_{23} s_1 + n_z c_{23} \end{aligned} \\
 \mathbf{M}_3^{0^{-1}} \cdot \mathbf{T} &= \begin{pmatrix} n_x c_{23} c_1 + n_y c_{23} s_1 - n_z s_{23} & o_x c_{23} c_1 + o_y c_{23} s_1 - o_z s_{23} \\ -n_x s_1 + n_y c_1 & -o_x s_1 + o_y c_1 \\ n_x s_{23} c_1 + n_y s_{23} s_1 + n_z c_{23} & o_x s_{23} c_1 + o_y s_{23} s_1 - o_z c_{23} \\ 0 & 0 \end{pmatrix} \\
 &\quad \begin{pmatrix} a_x c_{23} c_1 + a_y c_{23} s_1 - a_z s_{23} & p_x c_{23} c_1 + p_y c_{23} s_1 - p_z s_{23} - a_2 c_3 \\ -a_x s_1 + a_y c_1 & -p_x s_1 + p_y c_1 \\ a_x s_{23} c_1 + a_y s_{23} s_1 + a_z c_{23} & p_x s_{23} c_1 + p_y s_{23} s_1 - p_z c_{23} - a_2 s_3 \\ 0 & 1 \end{pmatrix}
 \end{aligned}$$

Dividiamo la prima equazione per  $s_5$  e la seconda per  $-s_5$  e otteniamo:

$$\begin{aligned}
 u_6 &= o_x s_{23} c_1 + o_y s_{23} s_1 - o_z c_{23} \\
 v_6 &= n_x s_{23} c_1 + n_y s_{23} s_1 + n_z c_{23}
 \end{aligned}$$

Supponiamo  $s_5 > 0$  oppure  $s_5 < 0$

$$\theta_6 = \text{atan2}(\text{hand} \cdot u_6, -\text{hand} \cdot v_6)$$

# Caso $\theta_5=0$

Se  $s_5 = 0$  nei casi pratici  $\theta_5 = 0$  perché il polso non può ripiegarsi interamente su sé stesso e raggiungere la Configurazione  $\theta_5 = \pi$ . Non valgono le equazioni precedenti per  $\theta_4$  e  $\theta_6$

$$\mathbf{M}_6^3 = \begin{pmatrix} c_4 c_6 - s_4 s_6 & -c_4 s_6 - s_4 c_6 & 0 & 0 \\ s_4 c_6 + c_4 s_6 & -s_4 s_6 + c_4 c_6 & 0 & 0 \\ 0 & 0 & 1 & d_4 + d_6 \\ 0 & 0 & 0 & 1 \end{pmatrix} = \begin{pmatrix} c_{46} & -s_{46} & 0 & 0 \\ s_{46} & c_{46} & 0 & 0 \\ 0 & 0 & 1 & d_4 + d_6 \\ 0 & 0 & 0 & 1 \end{pmatrix} = \mathbf{M}_3^{0^{-1}} \cdot \mathbf{T}$$

Si ricava:

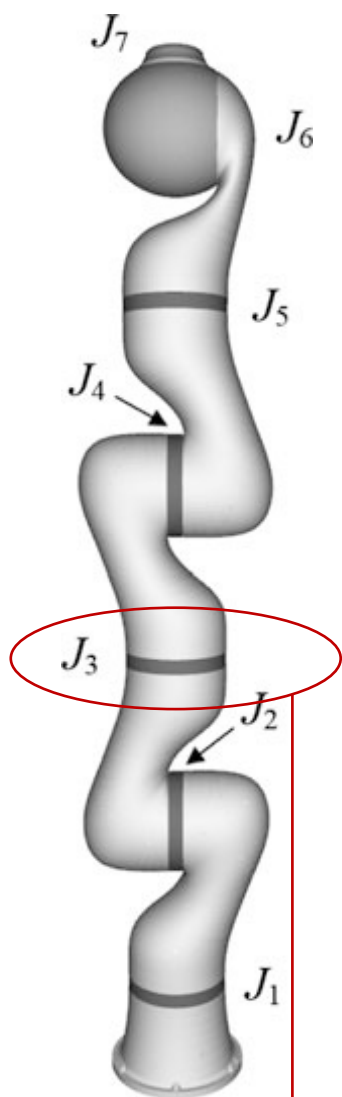
$$\theta_4 + \theta_6 = \text{atan2}(-n_x s_1 + n_y c_1, n_x c_{23} c_1 + n_y c_{23} s_1 - n_z s_{23})$$

Infiniti valori possibili di  $\theta_4$

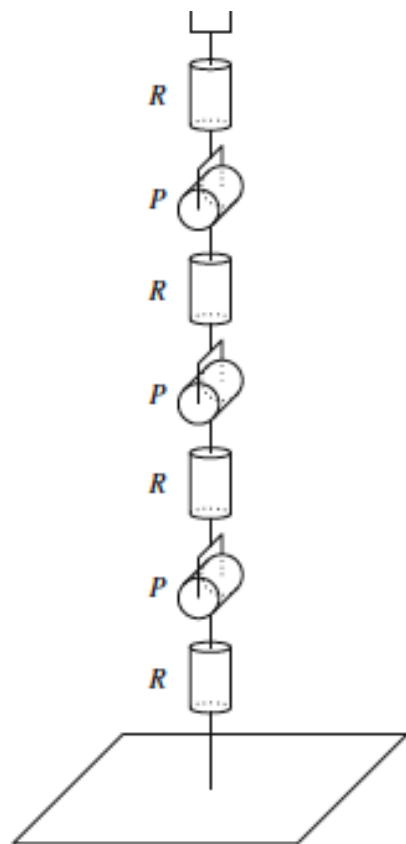
In pratica si sceglie un valore conveniente di  $\theta_4$  ad esempio  $\theta_4 = 0$  e si ricava  $\theta_6$

# Robot a 7 giunti: DLR-Kuka





Giunto in più rispetto al  
manipolatore a sei giunti



Con riferimento alla notazione degli angoli YPR,  
Il DLR-Kuka ha una struttura R-PRP-RPR

7 giunti: 7 gradi di libertà

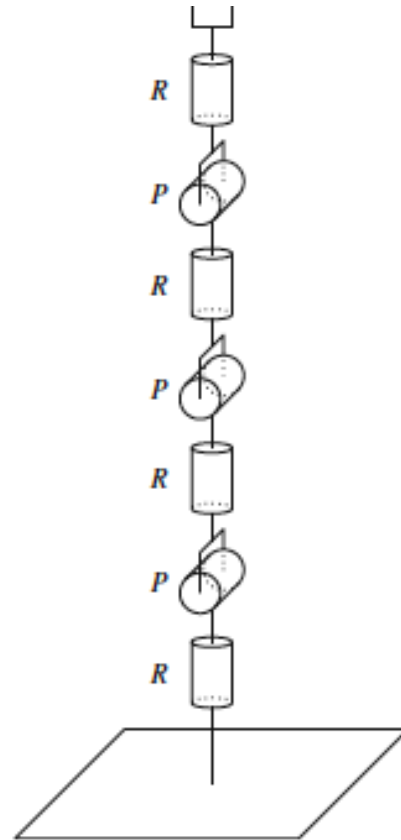
E' ridondante perché basterebbero 6 gradi di libertà  
per avere  $\mathbf{M}_0^7 = \mathbf{T}$

Gli angoli ai giunti di un robot sono limitati:

Per DLR-Kuka gli angoli sono  $\mathbf{R} \pm 170^\circ$ ;  $\mathbf{P} \pm 120^\circ$

Possibilità di arrivare alla stessa presa assumendo  
posizioni diverse per evitare ostacoli, es. il corpo  
del paziente

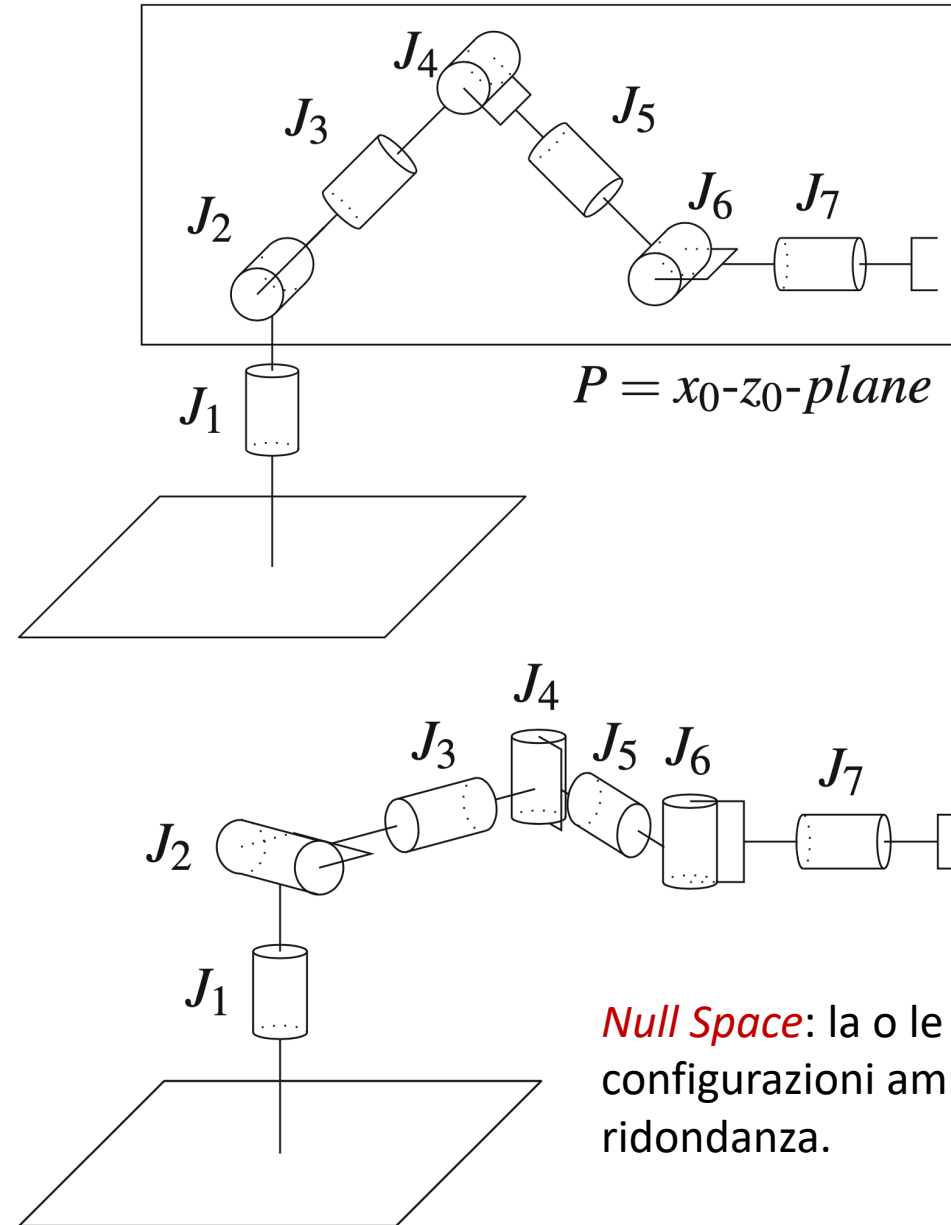
# Tabella DH per il DLR-Kuka



i	$\alpha_i$	$a_i$	$d_i$	$\theta_i$
1	-90	0	$d_1$	$\theta_1$
2	90	0	0	$\theta_2$
3	-90	0	$d_3$	$\theta_3$
4	90	0	0	$\theta_4$
5	-90	0	$d_5$	$\theta_5$
6	90	0	0	$\theta_6$
7	0	0	$d_7$	$\theta_7$



# Ridondanza



**Null Space:** la o le regioni dello spazio delle configurazioni ammissibili in cui c'è ridondanza.

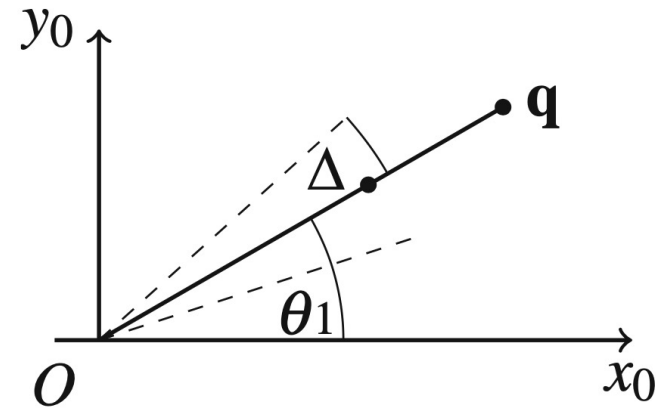
Può essere continua o fatta da punti isolati, o curve nello spazio delle configurazioni.

# Cinematica inversa per il DLR-Kuka

$$\mathbf{T} = \begin{pmatrix} \mathbf{n} & \mathbf{o} & \mathbf{a} & \mathbf{p} \\ 0 & 0 & 0 & 1 \end{pmatrix}$$

$\mathbf{q} = \mathbf{p} - d_7 \mathbf{a}$  → Polso: punto di incontro degli assi dei giunti  $J_5, J_6$  e  $J_7$

$$\mathbf{q} = (q_x, q_y, q_z)^T$$



$$\theta_1 = \text{atan2}(\text{shoulder} \cdot q_y, \text{shoulder} \cdot q_x) + \Delta$$

$\Delta \in [-\pi, \pi]$ .

*Valgono le stesse considerazioni della spalla del robot a sei giunti, in cui  $\Delta$  è un parametro di configurazione del piazzamento del gomito che gestisce la ridondanza delle posizioni*

$$\left( {}^0\mathbf{M}_1 \cdot \dots \cdot {}^5\mathbf{M}_6 \right)_{[4]} = \begin{pmatrix} \mathbf{q} \\ 1 \end{pmatrix}$$

$$\left( {}^1\mathbf{M}_2 \cdot \dots \cdot {}^5\mathbf{M}_6 \right)_{[4]} = \left( {}^0\mathbf{M}_1 \right)^{-1} \begin{pmatrix} \mathbf{q} \\ 1 \end{pmatrix}$$

$$\left( {}^1\mathbf{M}_2 \cdot \dots \cdot {}^5\mathbf{M}_6 \right)_{[4]} = \begin{pmatrix} \mathbf{q}' \\ 1 \end{pmatrix}$$

$$\left( {}^1\mathbf{M}_2 \cdot \dots \cdot {}^5\mathbf{M}_6 \right)_{[4]} = \begin{pmatrix} d_5(c_2c_3s_4 + s_2c_4) + s_2d_3 \\ d_5(s_2c_3s_4 - c_2c_4) - c_2d_3 \\ s_3s_4d_5 \\ 1 \end{pmatrix}$$

# Cinematica inversa per il DLR-Kuka

$$\left({}^1\mathbf{M}_2 \cdot \dots \cdot {}^5\mathbf{M}_6\right)_{[4]} = \begin{pmatrix} d_5(c_2c_3s_4 + s_2c_4) + s_2d_3 \\ d_5(s_2c_3s_4 - c_2c_4) - c_2d_3 \\ s_3s_4d_5 \\ 1 \end{pmatrix} \quad \begin{aligned} q'_x &= d_5(c_2c_3s_4 + s_2c_4) + s_2d_3 \\ q'_y &= d_5(s_2c_3s_4 - c_2c_4) - c_2d_3 \\ q'_z &= s_3s_4d_5 \end{aligned} \quad \|\mathbf{q}'\|^2 = q'^2_x + q'^2_y + q'^2_z.$$

$$c_4 = \frac{\|\mathbf{q}'\|^2 - d_3^2 - d_5^2}{2d_3d_5},$$

$$s_3 = \frac{q'_z}{s_4d_5}$$

$$s_4 = \pm \sqrt{1 - c_4^2},$$

$$c_3 = \pm \sqrt{1 - s_3^2}$$

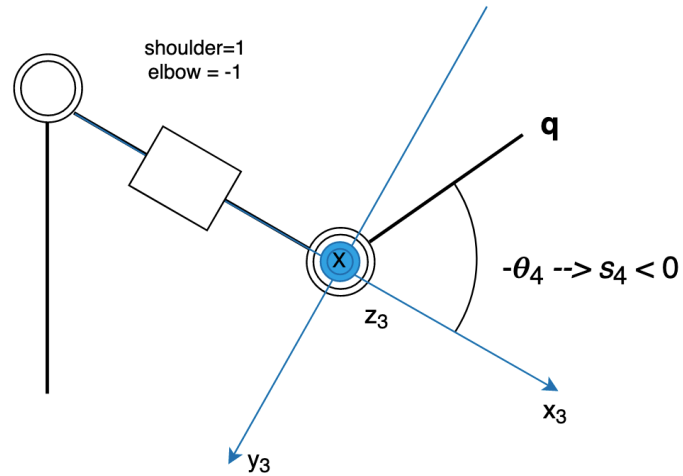
*Se  $s_4 \neq 0$ , altrimenti poniamo  $\theta_3 = 0$*

$$\theta_3 = \text{atan2}(\text{shoulder} \cdot \text{elbow} \cdot s_3, c_3)$$

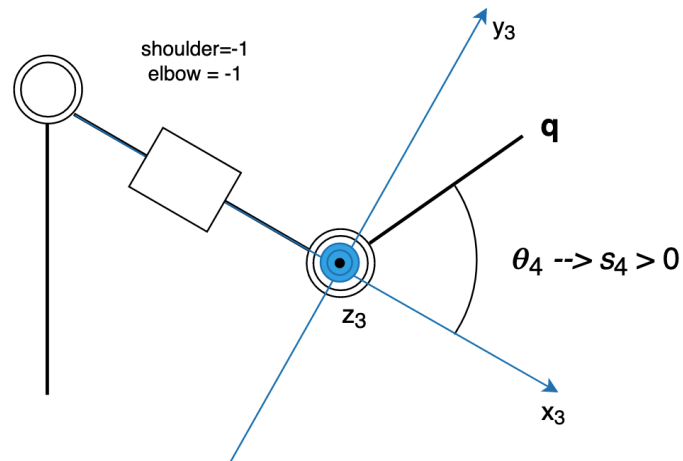
$$\theta_4 = \text{atan2}(\text{shoulder} \cdot \text{elbow} \cdot s_4, c_4)$$

*Il valore di  $\sin \theta_4$  dipende positivamente dal prodotto  $\text{shoulder} \cdot \text{elbow}$  con ragionamenti analoghi al manipolatore a 6 giunti perché l'angolo  $\theta_4$  va calcolato a partire dall'asse  $x_3$  positivo che è il punto di zero di  $J_4$ . Per  $\theta_3$  il segno di  $s_3$  dipende direttamente da  $s_4$ .*

# Cinematica inversa per il DLR-Kuka



Si può mostrare facilmente che vale anche per gli altri due casi perché la posizione del polso ricade nel quadrante con segno opposto di  $y_3$  per cui il seno si inverte, ma si oppone anche il segno di *elbow*



# Cinematica inversa per il DLR-Kuka

$$\begin{aligned} q'_x &= d_5 (c_2 c_3 s_4 + s_2 c_4) + s_2 d_3 & u &= c_3 s_4 d_5, & q'_x &= u c_2 + v s_2, \\ q'_y &= d_5 (s_2 c_3 s_4 - c_2 c_4) - c_2 d_3 & v &= c_4 d_5 + d_3. & q'_y &= u s_2 - v c_2. \\ q'_z &= s_3 s_4 d_5 \end{aligned}$$

Definiamo un angolo  $\gamma$  come:

$$r = \sqrt{u^2 + v^2}$$

$\gamma = \text{atan2} \left( \frac{u}{r}, \frac{v}{r} \right)$ 
 Allora avremo:
 
$$\begin{aligned} q'_x &= r \sin(\gamma) c_2 + r \cos(\gamma) s_2 = r \sin(\gamma + \theta_2) \\ q'_y &= r \sin(\gamma) s_2 - r \cos(\gamma) c_2 = -r \cos(\gamma + \theta_2) \end{aligned}$$

$$\theta_2 = \text{atan2}(\text{shoulder} \cdot \text{elbow} \cdot q'_x, -\text{shoulder} \cdot \text{elbow} \cdot q'_x) - \text{atan2}(\text{shoulder} \cdot \text{elbow} \cdot u, v)$$

$q'_x$ ,  $q'_y$  e  $u$  dipendono positivamente da  $s_4$ .

# Cinematica inversa per il DLR-Kuka

$${}^4\mathbf{M}_7 = {}^0\mathbf{M}_4^{-1} \cdot \mathbf{T} = \begin{pmatrix} c_5 c_6 c_7 - s_5 s_7 & -c_7 s_5 - c_5 c_6 s_7 & c_5 s_6 & d_7 c_5 s_6 \\ c_6 c_7 s_5 + c_5 s_7 & c_5 c_7 - c_6 s_5 s_7 & s_5 s_6 & d_7 s_5 s_6 \\ -c_7 s_6 & s_6 s_7 & c_6 & d_5 + d_7 c_6 \\ 0 & 0 & 0 & 1 \end{pmatrix} = \begin{pmatrix} m_{11} & \dots & m_{13} \\ \vdots & \ddots & \vdots \\ m_{31} & \dots & m_{33} \end{pmatrix}$$

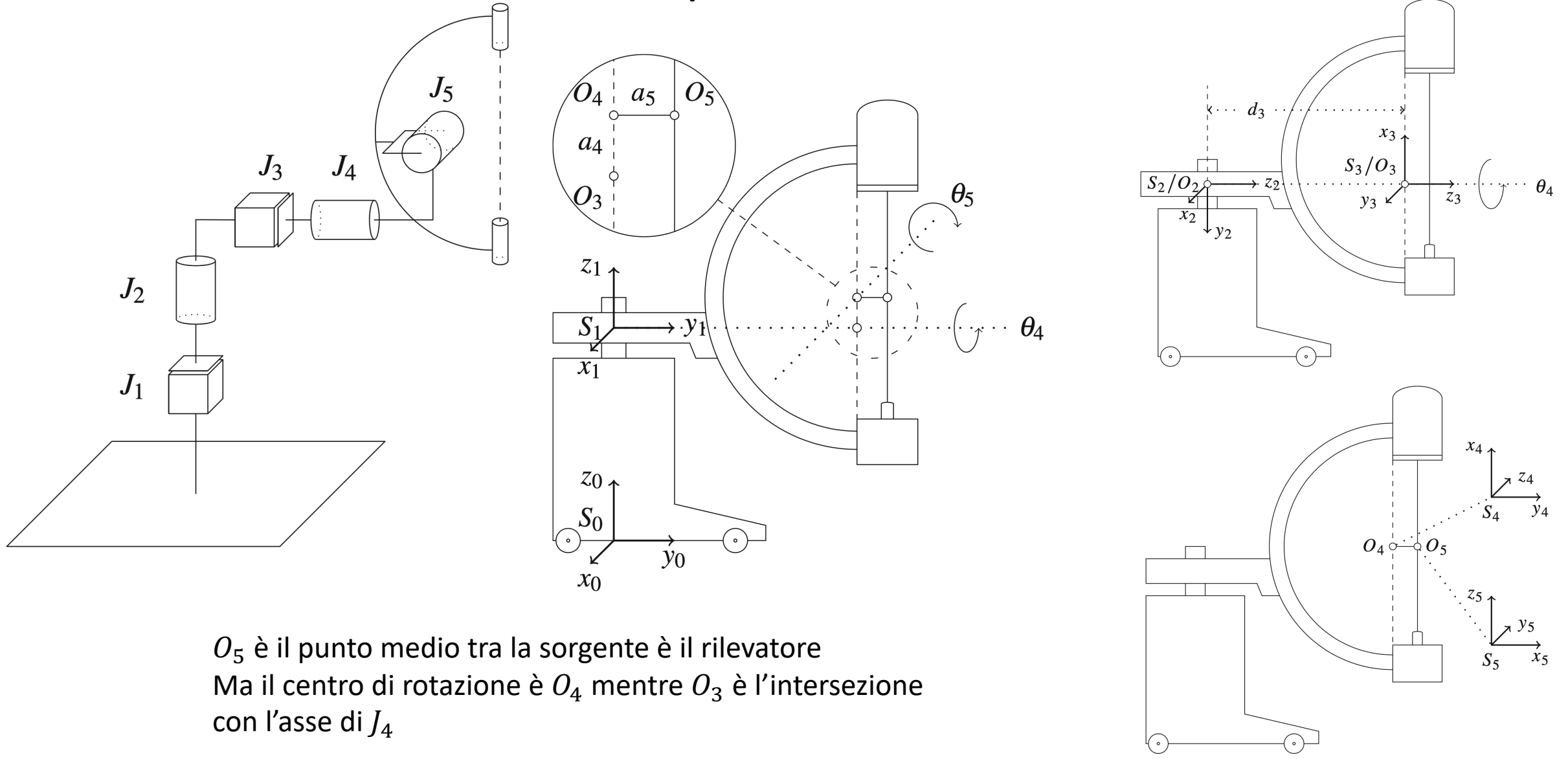
$$\theta_6 = \text{atan2}(\text{hand} \cdot \sqrt{1 - m_{33}^2}, m_{33}).$$

$$\theta_5 = \text{atan2}(\text{hand} \cdot m_{23}, \text{hand} \cdot m_{13})$$

$$\theta_7 = \text{atan2}(\text{hand} \cdot m_{32}, -\text{hand} \cdot m_{31})$$

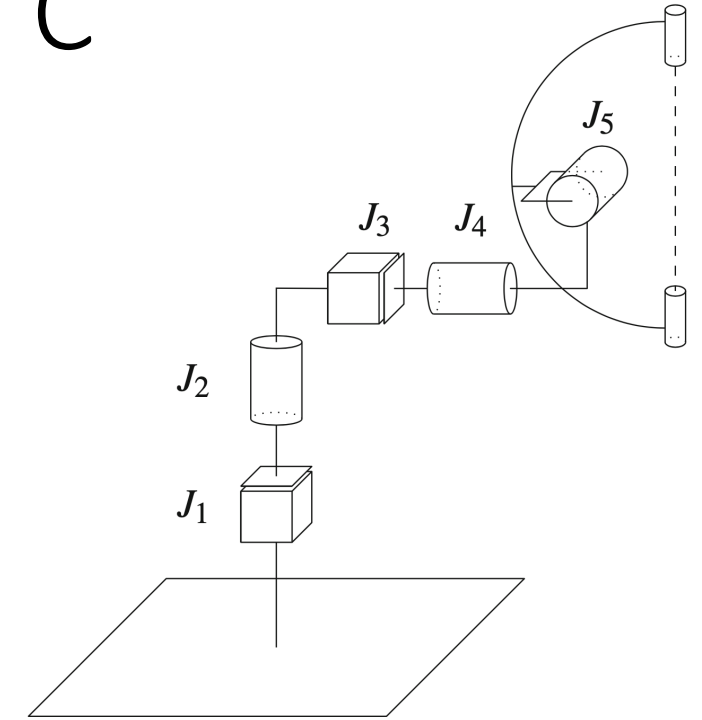
*Valgono le stesse considerazioni sul coefficiente hand del manipolatore a sei giunti rispetto alla dipendenza dei singoli coefficienti  $m_{ij}$  da  $s_6$*

# Cinematica diretta per il braccio a C



# Cinematica diretta per il braccio a C

$i$	$\alpha_i$	$a_i$	$d_i$	$\theta_i$
1	0	0	$d_1$	0
2	-90	0	0	$\theta_2$
3	0	0	$d_3$	-90
4	90	$a_4$	0	$\theta_4$
5	90	$a_5$	0	$\theta_5+90$



$$M_1^0 = \begin{pmatrix} 1 & 0 & 0 & 0 \\ 0 & 1 & 0 & 0 \\ 0 & 0 & 1 & d_1 \\ 0 & 0 & 0 & 1 \end{pmatrix} \quad M_2^1 = \begin{pmatrix} c_2 & 0 & -s_2 & 0 \\ s_2 & 0 & c_2 & 0 \\ 0 & -1 & 0 & 0 \\ 0 & 0 & 0 & 1 \end{pmatrix} \quad M_3^2 = \begin{pmatrix} 0 & 1 & 0 & 0 \\ -1 & 0 & 0 & 0 \\ 0 & 0 & 1 & d_3 \\ 0 & 0 & 0 & 1 \end{pmatrix}$$

$$M_4^3 = \begin{pmatrix} c_4 & 0 & s_4 & a_4 c_4 \\ s_4 & 0 & -c_4 & a_4 s_4 \\ 0 & 1 & 0 & 0 \\ 0 & 0 & 0 & 1 \end{pmatrix} \quad M_5^4 = \begin{pmatrix} -s_5 & 0 & c_5 & -a_5 s_5 \\ c_5 & 0 & s_5 & a_5 c_5 \\ 0 & 1 & 0 & 0 \\ 0 & 0 & 0 & 1 \end{pmatrix}$$

$$M_5^0 = M_1^0 \cdot M_2^1 \cdot M_3^2 \cdot M_4^3 \cdot M_5^4$$



# Cinematica diretta per il braccio a C

$${}^0\mathbf{M}_5[1] =$$

$$\begin{pmatrix} -c_2s_4s_5 - s_2c_5 \\ -s_2s_4s_5 + c_2c_5 \\ -c_4s_5 \\ 0 \end{pmatrix}$$

$${}^0\mathbf{M}_5[3] =$$

$$\begin{pmatrix} c_2s_4c_5 - s_2s_5 \\ s_2s_4c_5 + c_2s_5 \\ c_4c_5 \\ 0 \end{pmatrix}$$

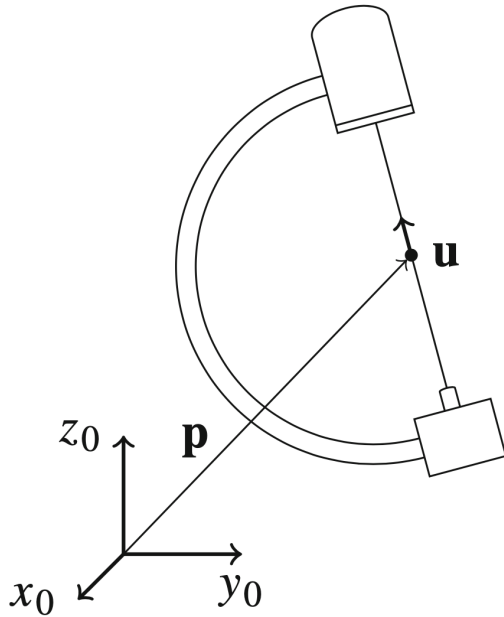
$${}^0\mathbf{M}_5[2] =$$

$$\begin{pmatrix} -c_2c_4 \\ -s_2c_4 \\ s_4 \\ 0 \end{pmatrix}$$

$${}^0\mathbf{M}_5[4] =$$

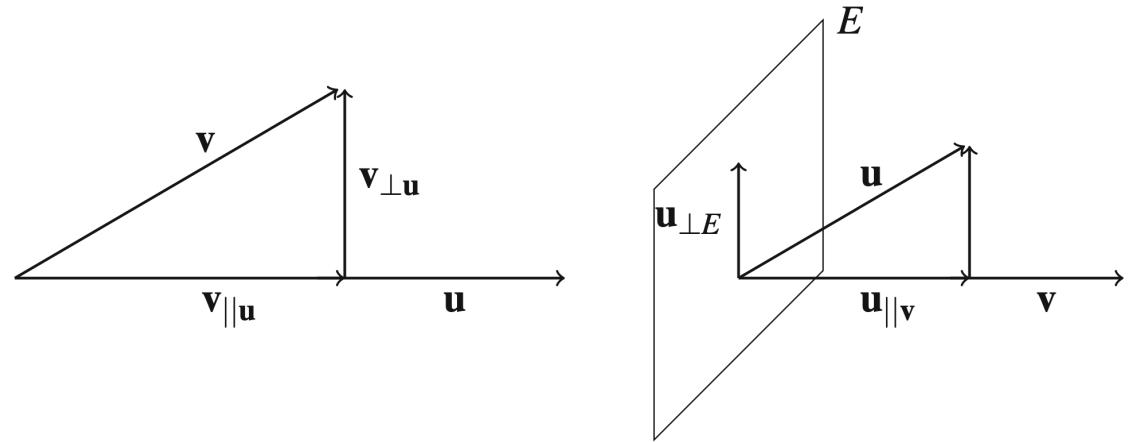
$$\begin{pmatrix} -a_5c_2s_4s_5 - a_5s_2c_5 + a_4c_2s_4 - s_2d_3 \\ -a_5s_2s_4s_5 + a_5c_2c_5 + a_4s_2s_4 + c_2d_3 \\ -a_5c_4s_5 + a_4c_4 + d_1 \\ 1 \end{pmatrix}$$

# Cinematica inversa per il braccio a C



Non abbiamo una matrice  $\mathbf{T}$  di riferimento del gripper, ma il punto  $\mathbf{p}$  di mezzo del raggio e l'orientazione  $\mathbf{u}$  del raggio:  $\mathbf{p}$  è l'origine di  $S_5$  e  $\mathbf{u}$  è l'asse  $z$  di  $S_5$

$$\mathbf{p} = \begin{pmatrix} p_x \\ p_y \\ p_z \end{pmatrix} \quad \mathbf{u} = \begin{pmatrix} u_x \\ u_y \\ u_z \end{pmatrix}$$



Dati i vettori  $\mathbf{u}$  e  $\mathbf{v}$  è possibile ricavare le due componenti di  $\mathbf{v}$  rispettivamente parallela e perpendicolare a  $\mathbf{u}$ :

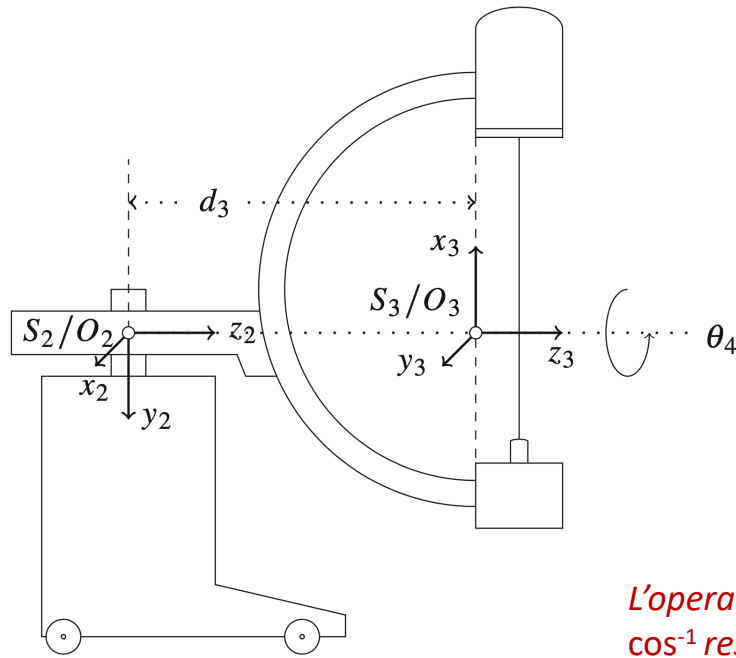
$$\mathbf{v}_{\parallel \mathbf{u}} = (\mathbf{u}\mathbf{v})\mathbf{u}$$

$$\mathbf{v}_{\perp \mathbf{u}} = \mathbf{v} - \mathbf{v}_{\parallel \mathbf{u}} = \mathbf{v} - (\mathbf{u}\mathbf{v})\mathbf{u}$$

Dato il piano  $E$  perpendicolare ad un dato vettore  $\mathbf{v}$  definito dall'equazione  $\mathbf{v}\mathbf{x} = 0$ , la componente di un vettore  $\mathbf{u}$  che giace su  $E$  è data da:

$$\mathbf{u}_{\perp E} = \mathbf{u} - (\mathbf{u}\mathbf{v})\mathbf{v}$$

# Soluzione per $\theta_4$

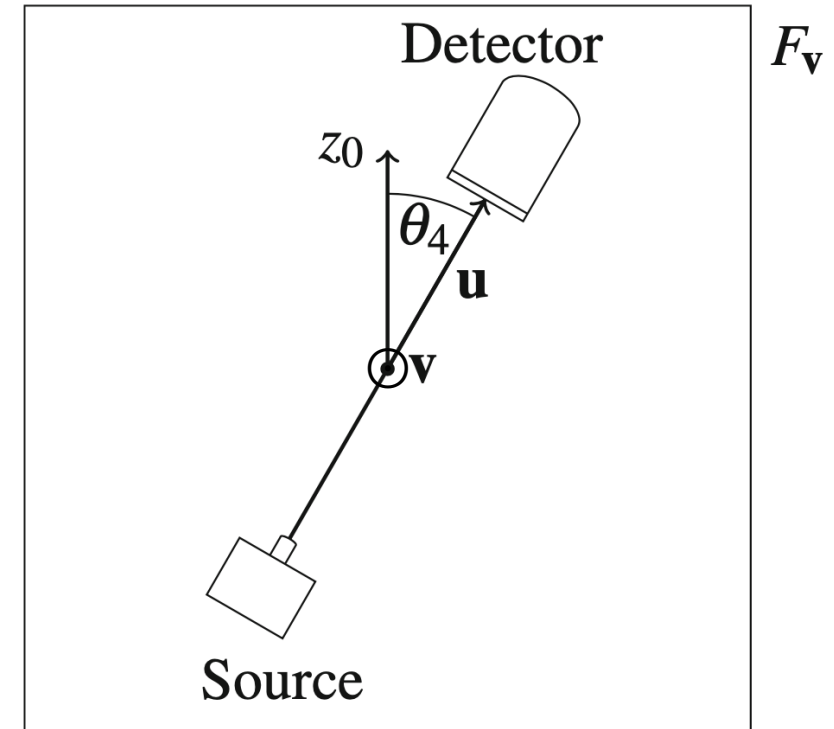


*L'operatore sgn serve perché  $\cos^{-1}$  restituisce solo valori positivi*

Supponiamo noto l'angolo  $\theta_2$  di rotazione attorno l'asse  $z_1$

Chiamiamo  $\mathbf{v}$  il versore della retta che congiunge  $O_2, O_3$  nella direzione di  $z_2, z_3$ .

Si ha:  $\mathbf{v} = (-\sin \theta_2 \quad \cos \theta_2 \quad 0)^T$



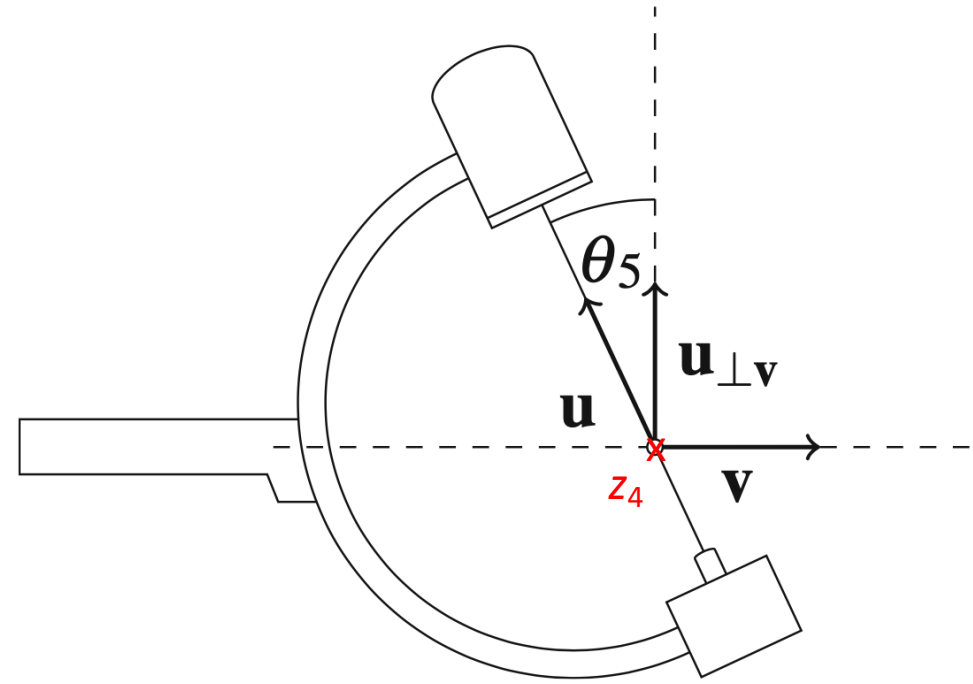
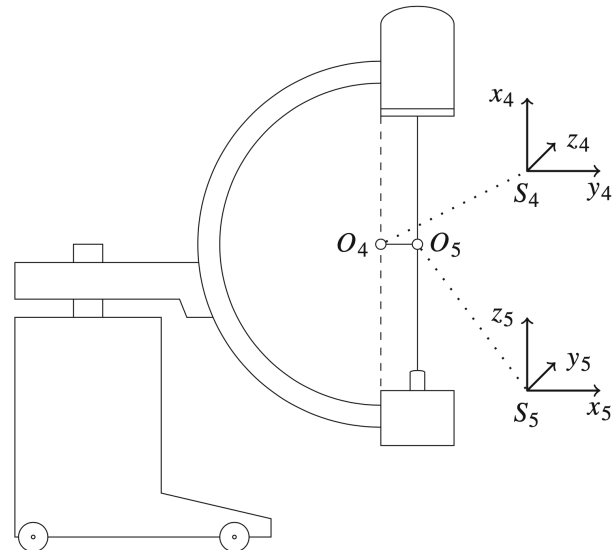
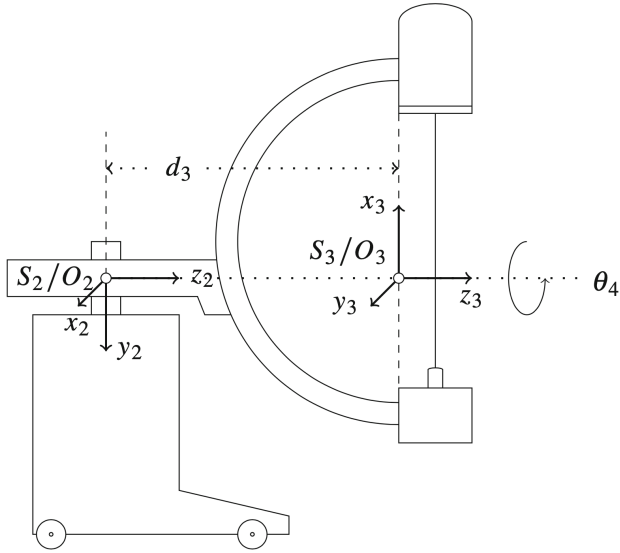
Consideriamo il piano  $F_v$  ortogonale a  $z_3$  e  $\mathbf{v}$  ( $\mathbf{v}$  è rivolto verso di noi) e contenente  $z_0$ .  $\theta_4$  è la rotazione attorno  $z_3$  e quindi attorno  $\mathbf{v}$ .

Proiettiamo  $\mathbf{u}$  sul piano  $F_v$ :  $\mathbf{u}_{\perp F_v} = \mathbf{u} - (\mathbf{u}\mathbf{v})\mathbf{v}$  e normalizziamo. Si ha:

$$\theta_4 = \text{sgn}(\theta_4) \cos^{-1} \left( z_0 \frac{\mathbf{u}_{\perp F_v}}{\|\mathbf{u}_{\perp F_v}\|} \right)$$

Il segno  $\text{sgn}(\theta_4) = 1$  se  $\mathbf{u}(\mathbf{v} \times z_0) > 0$

# Soluzione per $\theta_5$

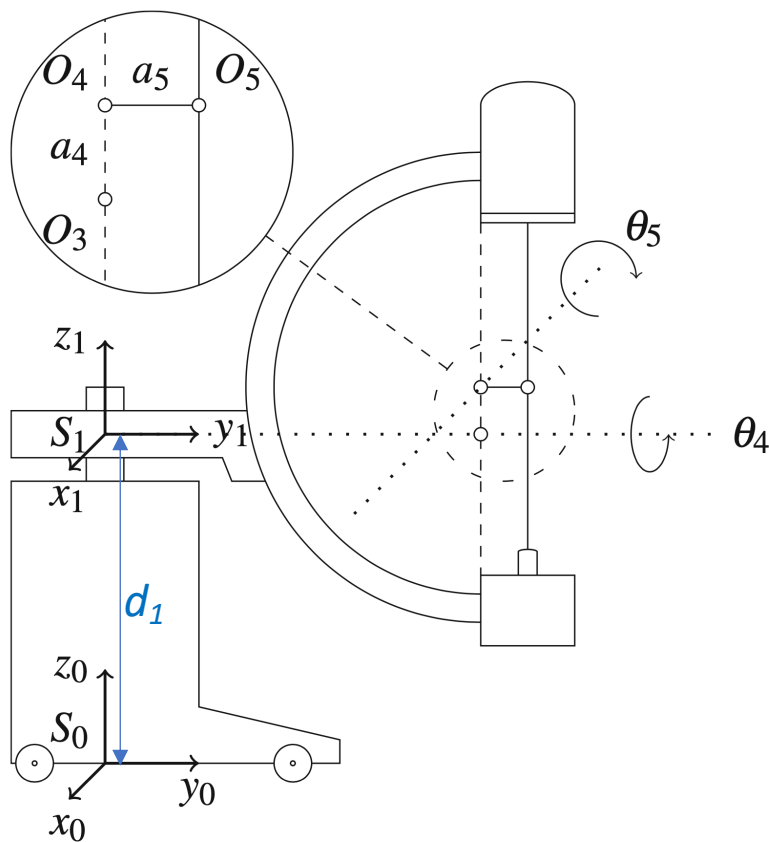


Consideriamo il piano definito dai vettori  $\mathbf{u}$ ,  $\mathbf{v}$ :  
 è il piano della C.  $\theta_5$  è la rotazione attorno  $z_4$   
 che è ortogonale a  $\mathbf{v}$  e quindi è l'angolo tra  $\mathbf{u}_{\perp \mathbf{v}}$  e  $\mathbf{u}$ :

$$\theta_5 = \text{sgn}(\theta_5) \cos^{-1} \left( \mathbf{u} \frac{\mathbf{u}_{\perp \mathbf{v}}}{\|\mathbf{u}_{\perp \mathbf{v}}\|} \right)$$

Il segno  $\text{sgn}(\theta_5) = 1$  se  $\mathbf{uv} > 0$

# Soluzione per $d_1$



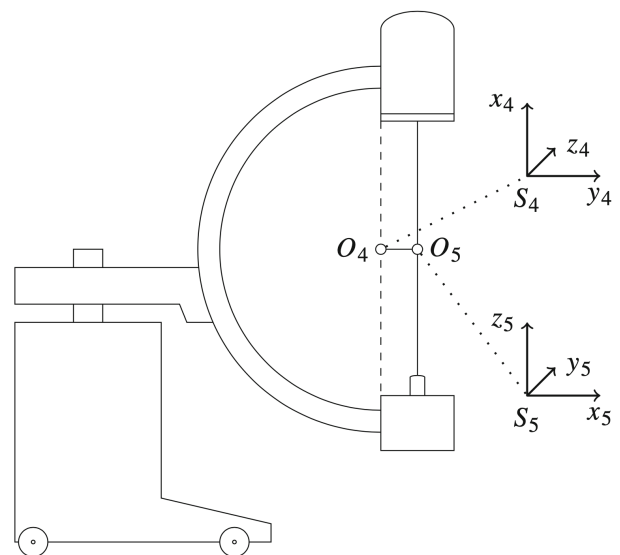
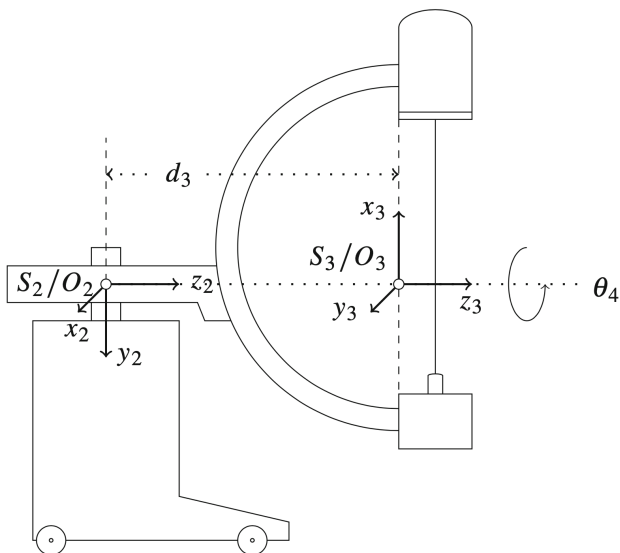
Si ricava dal confronto di  $\mathbf{M}_5^0$  con  $\mathbf{p}$ :

$$p_z = -a_5 c_4 s_5 + a_4 c_4 + d_1$$

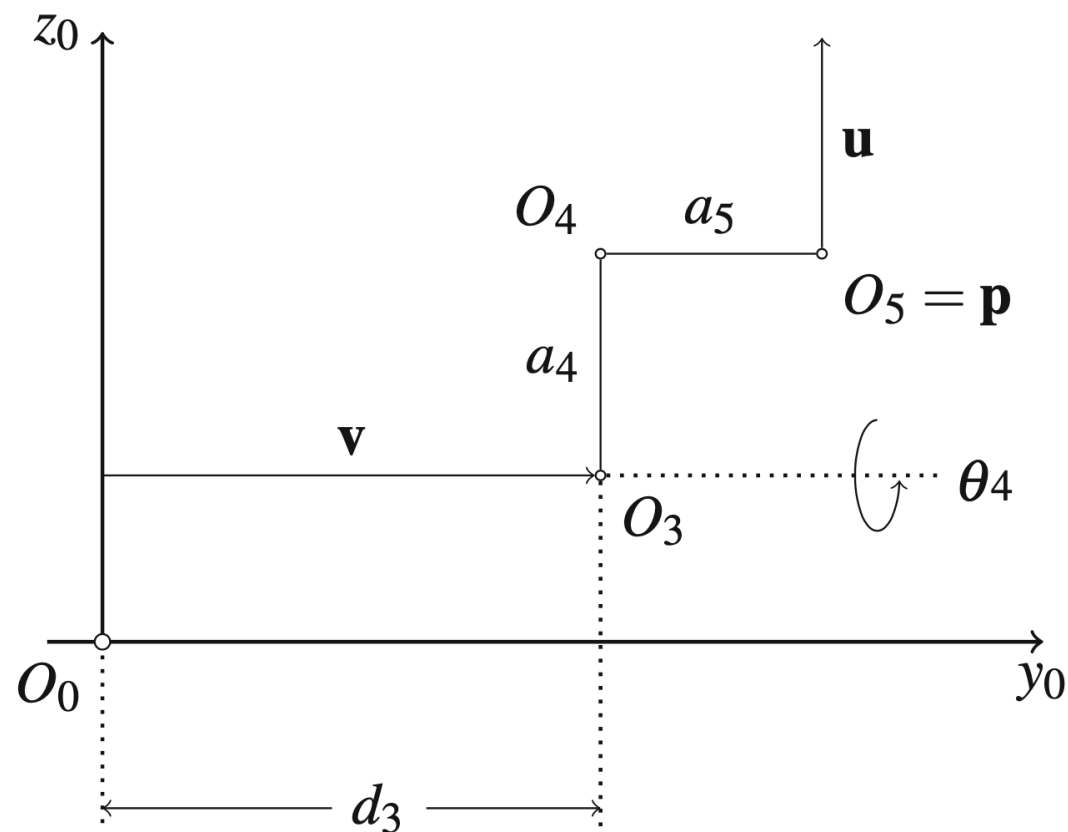
da cui:

$$d_1 = p_z + a_5 c_4 s_5 - a_4 c_4$$

# Soluzione per $d_3$



$O_3, O_4, O_5$  sono sullo stesso piano di  $\mathbf{u}, \mathbf{v}$   
 $\mathbf{u}_{\perp \mathbf{v}}$  è nella direzione di  $\mathbf{a}_4$  e  $\mathbf{v}_{\perp \mathbf{u}}$  è nella direzione di  $\mathbf{a}_5$



# Soluzione per $d_3$

$$\mathbf{v}_{\parallel u} = (\mathbf{u}\mathbf{v})\mathbf{u}$$

$$\mathbf{v}_{\perp u} = \mathbf{v} - \mathbf{v}_{\parallel u} = \mathbf{v} - (\mathbf{u}\mathbf{v})\mathbf{u}$$

Dal fatto che  $\mathbf{v}_{\perp u}$  è nella direzione di  $a_5$  si ha:

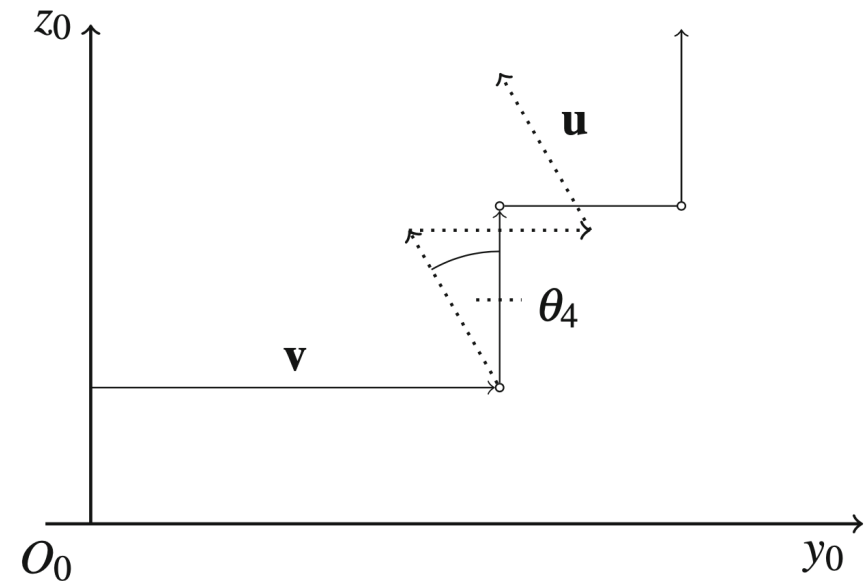
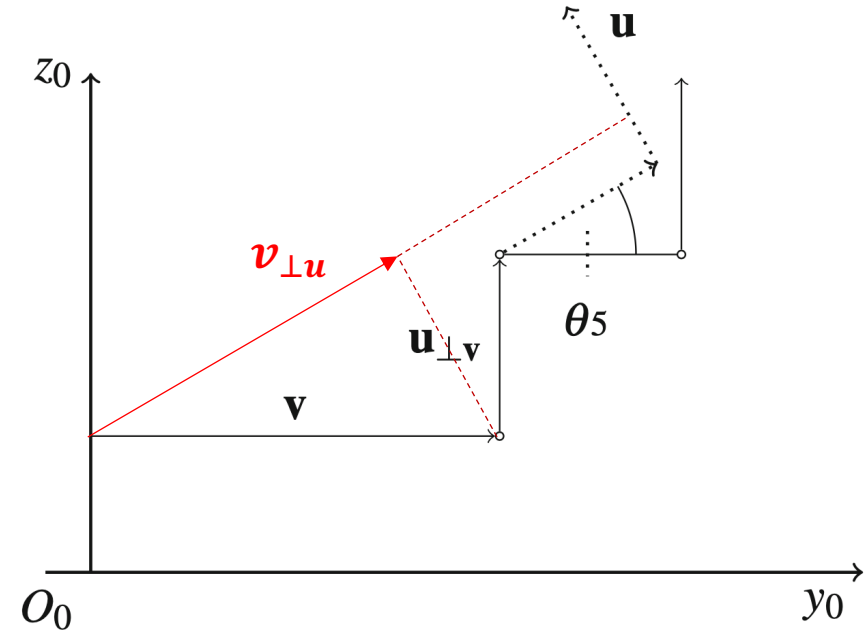
$$O_5 - O_4 = \frac{\mathbf{v}_{\perp u}}{\|\mathbf{v}_{\perp u}\|} a_5$$

Dal fatto che  $\mathbf{u}_{\perp v}$  è nella direzione di  $a_4$  si ha:

$$O_4 - O_3 = \frac{\mathbf{u}_{\perp v}}{\|\mathbf{u}_{\perp v}\|} a_4$$

Sappiamo che  $O_5 = \mathbf{p}$  e che  $O_2 = (0 \quad 0 \quad d_1)^T$

Possiamo quindi ricavare  $d_3 = \|O_2 - O_3\|$



# Soluzione per $\theta_2$

Si cerca una soluzione numerica nell'intorno di  $\theta_2 = 0 \pm 10^\circ$  (per es. griglia di ricerca o bisezione)

Si parte con  $\theta_2 = 0$

- dalla cinematica diretta si trovano i valori di  $\mathbf{u}_0, \mathbf{p}_0$
  - Si confrontano con  $\mathbf{u}, \mathbf{p}$  e si procede con approssimazioni successive minimizzando l'errore
- $$e = (\mathbf{u} - \mathbf{u}_0)^2 + (\mathbf{p} - \mathbf{p}_0)^2$$



# Applicazioni del C-Arm

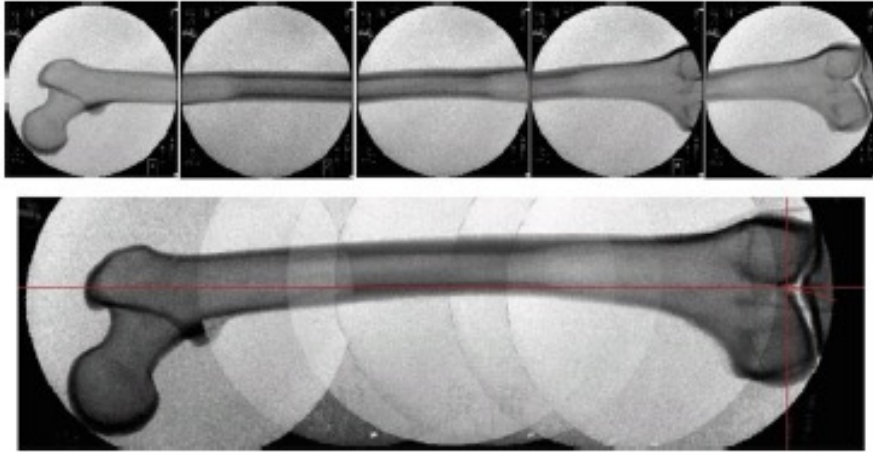
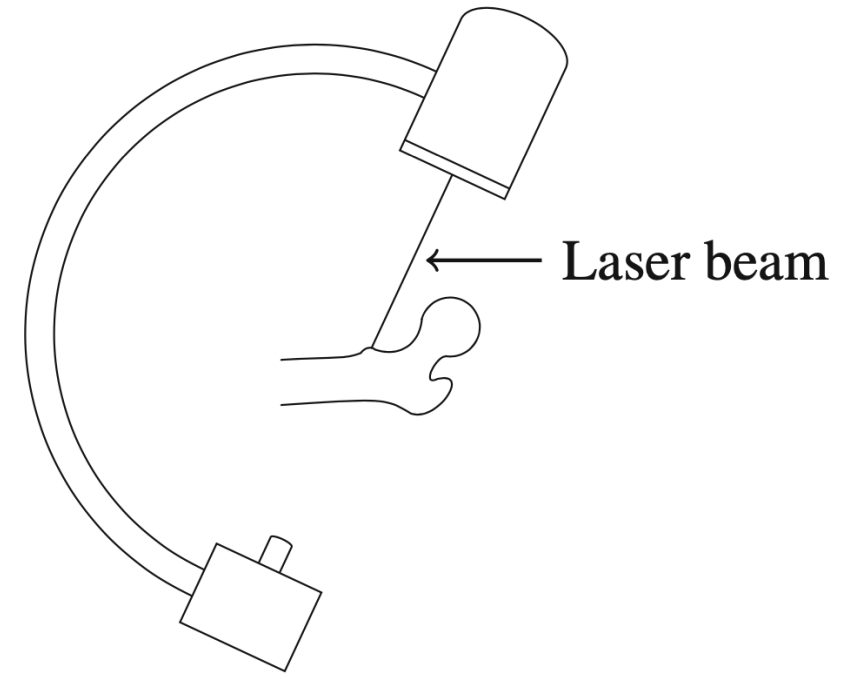


Image stitching: le singole acquisizioni sono allineate tra loro come in un'immagine panoramica senza registrazione



Ricostruzione 3D TAC ruotando attorno al target senza registrazione tramite puntamento con fascio laser allineato con il fascio di raggi X (asse  $z_5$ ).

Il fascio laser proietta una linea sul target che può essere usata per calibrare il riferimento tra il braccio e la posizione desiderata. Dopo ogni acquisizione, la cinematica inversa riporta il braccio in posizione tale da centrare di nuovo il target.

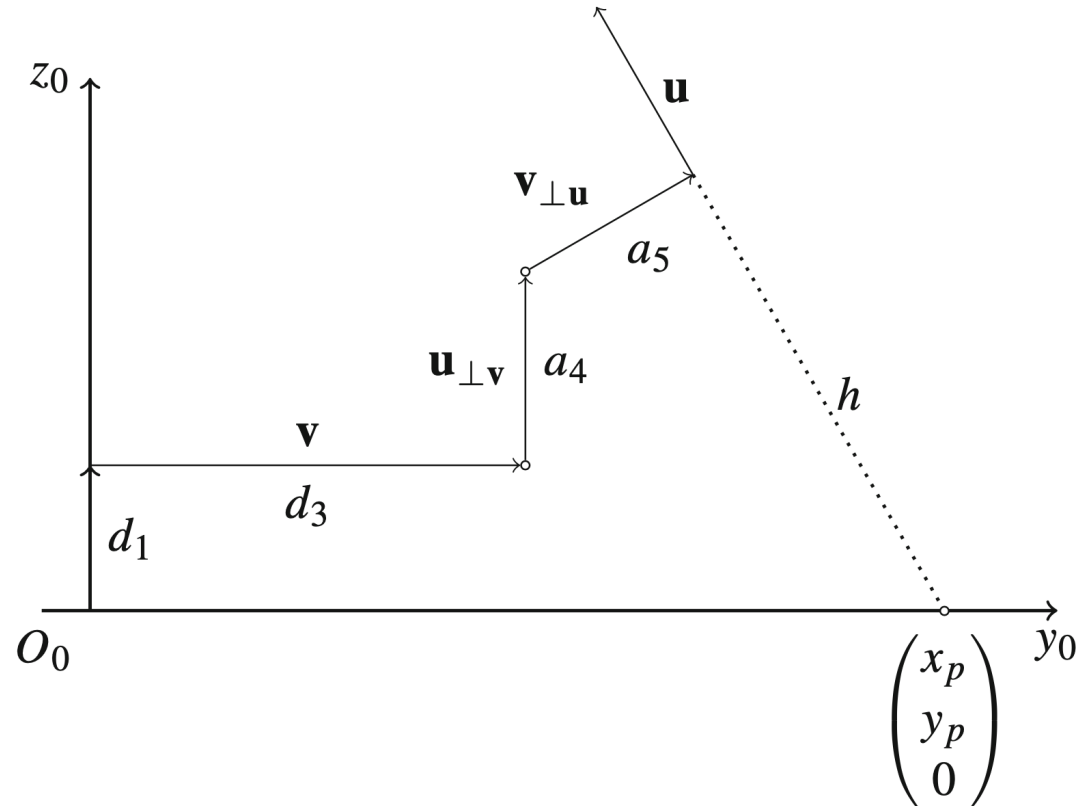
E' possibile anche la TAC 4D con acquisizioni in diversi momenti (caso cardiaco).

# Applicazioni del C-Arm

Il radiologo fissa un'asse per l'analisi:

servono solo 4 gradi di libertà:  $d_1, d_3, \theta_4, \theta_5$

Di solito si fissa  $\theta_2 = 0$



Intersezione con il piano  $xy$ :  $\mathbf{q} = \begin{pmatrix} x_p \\ y_p \\ 0 \end{pmatrix}$

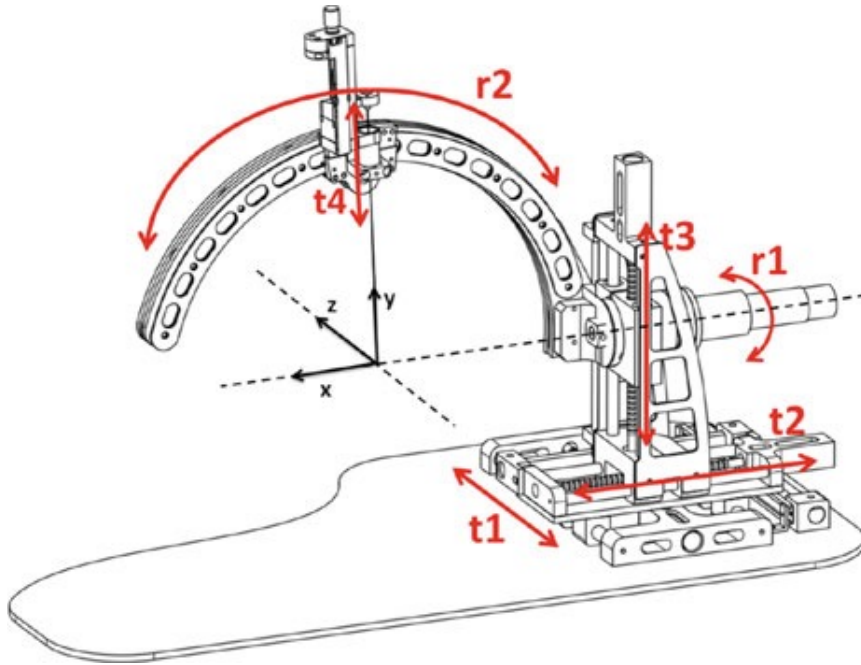
Si stimano  $\theta_4$  e  $\theta_5$  dai vettori  $\mathbf{u}, \mathbf{v}$

Si ricavano  $d_1$  e  $d_3$  dall'equazione:

$$d_1 \begin{pmatrix} 0 \\ 0 \\ 1 \end{pmatrix} + d_3 \begin{pmatrix} v_x \\ v_y \\ v_z \end{pmatrix} + \frac{\mathbf{u}_{\perp \mathbf{v}}}{\|\mathbf{u}_{\perp \mathbf{v}}\|} a_4 + \frac{\mathbf{v}_{\perp \mathbf{u}}}{\|\mathbf{v}_{\perp \mathbf{u}}\|} a_5 + \lambda \begin{pmatrix} u_x \\ u_y \\ u_z \end{pmatrix} = \begin{pmatrix} x_p \\ y_p \\ 0 \end{pmatrix}$$

Dove  $\lambda$  è il fattore di scala

# Sistemi Center-of-Arc



4 assi traslazionali ( $t_1, t_2, t_3, t_4$ )  
2 assi rotazionali ( $r_1, r_2$ )

C-Arm fa parte della famiglia dei sistemi Center-of-Arc  
usati per neurochirurgia, angiografia, terapie radiologiche

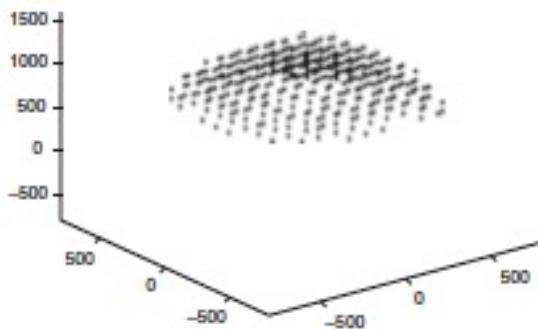
# Destrezza (dexterity)

Dato un punto  $p$  nello spazio di lavoro del robot, individuare l'angolo solido di tutte le possibili orientazioni del gripper.

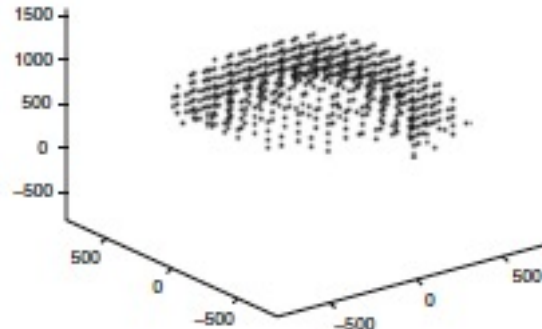
Considerando i versori unitari di tutte le orientazioni possibili in  $p$ , si ottiene una calotta di una sfera unitaria

La destrezza dipende dalle limitazioni fisiche degli angoli ai giunti

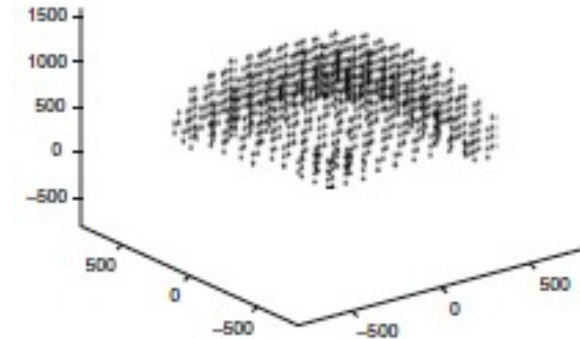
DLR-Kuka



6 giunti:  $\theta_3 = 0$   
R-joints  $\pm 170^\circ$  P-joints  $\pm 120^\circ$



7 giunti:  $\theta_3$  libero  
R-joints  $\pm 170^\circ$  P-joints  $\pm 120^\circ$



6 giunti:  $\theta_3 = 0$   
R-joints  $\pm 170^\circ$  P-joints  $\pm 150^\circ$